

GOVERNO DO ESTADO



CEARÁ
AVANÇANDO NAS MUDANÇAS

GOVERNO DO ESTADO DO CEARÁ
SECRETARIA DOS RECURSOS HÍDRICOS
COMPANHIA DE GESTÃO DOS RECURSOS HÍDRICOS - COGERH
PROJETO DE DESENVOLVIMENTO, URBANO E GESTÃO DOS RECURSOS HÍDRICOS
PROURB CE

**PROJETO EXECUTIVO DA
BARRAGEM CATU**

**TOMO I RELATÓRIO DOS ESTUDOS BÁSICOS
VOLUME 3 ESTUDOS HIDROLÓGICOS**

KL

**FORTALEZA- CE
SETEMBRO DE 1997**

GOVERNO DO ESTADO



CEARÁ

AVANÇANDO NAS MUDANÇAS

**GOVERNO DO ESTADO DO CEARÁ
SECRETARIA DOS RECURSOS HÍDRICOS
COMPANHIA DE GESTÃO DOS RECURSOS HÍDRICOS - COGERH
PROJETO DE DESENVOLVIMENTO URBANO E GESTÃO DOS RECURSOS HÍDRICOS
PROURB/CE**

**PROJETO EXECUTIVO
DA BARRAGEM CATU**

**TOMO I - RELATÓRIO DOS ESTUDOS BÁSICOS
VOLUME 3 - ESTUDOS HIDROLÓGICOS**

fone: 00720 - Prep (X) Scen () Index ()

Projeto N° 00761C110310

Volumen 1

Qty A1 Qty A3

Qty A2 Qty A1

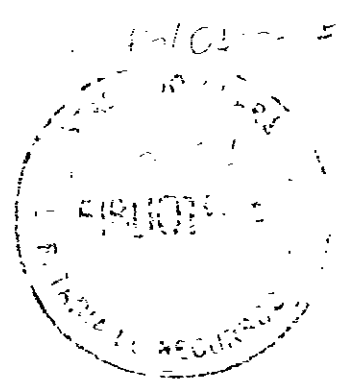
Qty A0 Outros



KL - SERVIÇOS E ENGENHARIA LTDA.

Av. SENADOR VIRGÍLIO FAVORATO, 1.200 - Bairro 1º DP - 61.000
Fone: (61) 321.9766/291.0792 - Fax: (61) 4766-
4766/4767/4768/4769 - Telex: (61) 5.845.984-8
FORTALEZA - CEARA
E-mail: KLENG@PORTAL.UFT.COM.BR

FORTALEZA
AGOSTO / 97



ÍNDICE

ÍNDICE

APRESENTAÇÃO	6
1 - INTRODUÇÃO.	8
2 - CARACTERIZAÇÃO CLIMATOLÓGICA..	10
2 1 - PRINCIPAIS PARÂMETROS	10
2 1 1 - Temperatura	10
2 1 2 - Umidade Relativa..	12
2 1 3 - Insolação Média	13
2.1 4 - Ventos	13
2 1 5 - Evaporação Média	14
2 1 6 - Evapotranspiração	15
2 2 - BALANÇO HÍDRICO	16
2 3 - CLASSIFICAÇÃO DO CLIMA	17
2 3 1 - Classificação segundo Thornthwaite	17
2 3 2 - Classificação segundo Koeppen	18
3 - ESTUDOS PLUVIOMÉTRICOS	20
3 1 - DADOS UTILIZADOS	20
3 2 - CARACTERIZAÇÃO DO REGIME PLUVIOMETRICO	21
3 2 1 - Nível Anual	21
3 2 2 - Nível Mensal	23
3 2 3 - Nível Diário	24
3.2 4 - Chuvas Intensas	25
3 2 4 1 - Equação de chuva	25
3 2 4 2 - Método das Isozonas (TORRICO, 1975)	26
4 - ESTUDO DE DEFLÚVIOS	30
4 1 - METODOLOGIA	30
4 2 - CALIBRAÇÃO DO MODHAC E GERAÇÃO DE VAZÕES	33
4 3 - CARACTERIZAÇÃO DO REGIME DE DEFLUVIOS	35
5 - ESTUDO DAS CHEIAS DE PROJETO	39
5 1 - METODOLOGIA	39
5 1.1 - Solos e uso atual da terra	40
5 1.2 - Geologia...	41
5.1 3 - Vegetação	41
5 1.4 - Precipitação	41
5.1 5 - Precipitação Efetiva.....	43

5 1 6 - Hidrograma Unitário	47
5 2 - RESULTADOS	47
6 - DIMENSIONAMENTO DO RESERVATÓRIO	51
6 1 - INTRODUÇÃO	51
6 2 - METODOLOGIA	51
6 2 1 - Solução Direta da Equação do Balanço Hídrico	52
6 2 2 - O Diagrama Triangular de Regularização	54
6 2 3 - Simulação com a Série Afluente do MODHAC - Programa Opera.	55
6 3 - RESULTADOS	56
7 - DIMENSIONAMENTO DO SANGRADEIRO	62
7 1 - PROPAGAÇÃO DA CHEIA NO RESERVATORIO	62
7 2 - RESULTADOS	65
7 2 1 - Sangradouro em perfil Creager	65
7 2 2 - Sangradouro tipo labirinto	67
7 2 3 - Alternativa selecionada	69
8 - ESTUDOS COMPLEMENTARES	74
8 1 - INTRODUÇÃO	74
8 2 - ESTUDO DA DISPONIBILIDADE HIDRICA	74
8 3 - ESTUDO DE INTERFERÊNCIA	80
8 4 - ANALISE DA POSSIBILIDADE DE ASSOREAMENTO	82
8 4 1 - Estimativa da carga anual de sedimentos	83
8 4 2 - Cálculo do peso específico aparente do depósito	83
8 4 3 - Cálculo da eficiência de retenção	85
8 4 4 - Estimativa do volume assoreamento ao longo do tempo	85
8 5 - ANALISE DA SISMICIDADE	86
ANEXOS	89

APRESENTAÇÃO

APRESENTAÇÃO

A KL - Serviços e Engenharia Ltda , em cumprimento ao contrato nº 05-97/ PROURB - CE/ COGERH, apresenta os estudos referentes ao Projeto Executivo da Barragem Catu

O Projeto Executivo é composto pelos seguintes estudos

FASE A DIAGNÓSTICO E ANTEPROJETO

- Relatório dos Estudos Preliminares,
- TOMO I - Relatório dos Estudos Básicos,
 - Volume 1 - Estudos Topográficos
 - Volume 2 - Estudos geológicos e Geotécnicos
 - Volume 3 - Estudos Hidrológicos
- TOMO II - Relatório de Concepção

FASE B DETALHAMENTO DO PROJETO DE ENGENHARIA A NÍVEL EXECUTIVO

- Minuta do Relatório Geral
- TOMO III - Relatório Geral
 - Volume 1 - Descrição Geral do Projeto
 - Volume 2 - Memorial de Cálculo
 - Volume 3 - Orçamento e Especificações Técnicas
 - Volume 4 - Desenhos
 - Volume 5 - Desenhos Estruturais
- TOMO IV - Relatório Síntese

Neste volume Tomo I – Relatórios dos Estudos Básicos, Volume 3 – Estudos Hidrológicos, estão sendo apresentados os resultados dos Estudos Hidrológicos

1 - INTRODUÇÃO

1 - INTRODUÇÃO

Os Estudos Hidrológicos do Açude Catu objetivaram fornecer os elementos hidrológicos para o dimensionamento do reservatório e das estruturas hidráulicas de descarga da obra

Os estudos iniciaram-se com a caracterização climática da área, tendo-se coletado e analisado informações de estações próximas

Em seguida, nos estudos pluviométricos, coletou-se e analisou-se as informações de estações próximas à região. Foram elaborados três estudos a partir dos dados de chuvas

- estudo de caracterização do regime pluviométrico,
- estudos de chuvas intensas,
- chuva média diária sobre a bacia hidrográfica

Para a caracterização do escoamento afluente à barragem, base para os estudos de regularização, foram realizados os estudos de vazões mensais, via modelo hidrológico chuva-deflúvio, visto tratar-se de bacia sem dados fluviométricos observados. A estação Bau, no riacho Bau, afluente do rio Pacoti, serviu para estimativa dos parâmetros do modelo MODHAC

No capítulo seguinte, são apresentados os estudos de cheias de 1 000 anos e 10 000 anos de período de retorno afluentes à barragem. Devido à ausência de dados observados, utilizou-se metodologia baseada no método do SCS (Soil Conservation Service)

Partiu-se, em seguida, para o dimensionamento hidrológico da capacidade do açude a ser projetado. Para isso, pré dimensionou-se o sangradouro para diversas cotas de sangria, simulando-se a laminação da cheia de 1 000 anos

Na última parte deste relatório são apresentados estudos adicionais sobre os seguintes itens: probabilidade de esvaziamento no equilíbrio, probabilidade de enchimento no início da operação, análise da interferência hidrológica na Lagoa do Catu e possibilidade de assoreamento do açude.

2 - CARACTERIZAÇÃO CLIMATOLÓGICA

2 - CARACTERIZAÇÃO CLIMATOLÓGICA

A abordagem da climatologia aqui desenvolvida visa dar subsídios as etapas subsequentes dos estudos realizados na bacia do Catu, principalmente àquelas relacionadas ao aproveitamento dos seus recursos hídricos

A subbacia do Riacho Catu até o boqueirão estudado, Catu, drena uma área de 64,5 km². A área da bacia hidrográfica total contribuinte à lagoa do Catu mede 166,9 km², incluindo a área da bacia do próprio riacho Catu (136,1km²) e a área de uma bacia independente pela margem direita (30,8km²) da referida lagoa em situação mais próxima do litoral. A referida bacia não tem localizada em seus domínios nenhuma estação hidroclimatológica, sendo por isso utilizada como estação representativa a de Fortaleza, com denominação homônima (INEMET, 1991)¹

2.1 - PRINCIPAIS PARÂMETROS

2.1.1 - Temperatura

A distribuição temporal das temperaturas diárias mostra pequenas variações para os três pontos discretos de monitoramento (12 00, 18 00 e 24 00 TMG - Tempo Médio de Greenwich), sendo tais flutuações processadas, sob uma visão contínua no tempo, com pequenos gradientes

A temperatura média compensada é obtida por ponderação entre as temperaturas observadas nas estações meteorológicas T12 e T24 TMG, TMAX e TMIN do dia, pela seguinte fórmula estabelecida pela OMM (Organização Meteorológica Mundial)

$$T_{comp} = \frac{T_{12} + 2 T_{24} + T_{MAX} + T_{MIN}}{5}$$

onde,

Tcomp - Temperatura média compensada

T12 - Temperatura observada às 12 00 TMG

¹ INEMET, 1991 INVENTARIO DE ESTAÇÕES HIDROCLIMATOLÓGICAS

T24 - Temperatura observada às 24 00 TMG

TMAX - Temperatura máxima do dia

TMIN - Temperatura mínima do dia

A temperatura compensada apresenta uma pequena variação de 1,6 °C, isso para os meses de julho (25,7 °C), dezembro e janeiro (27,3 °C). As médias máximas e mínimas extremas ocorrem respectivamente nos meses de novembro e dezembro (30,7 °C) e Junho (22,1 °C), conforme se observa no quadro 2.1 e figura 2.1

Quadro 2.1 - Temperaturas Máximas, Mínimas e Compensadas (°C) na estação de Fortaleza

Média	JAN	FEV	MAR	ABR	MAI	JUN	JUL	AGO	SET	OUT	NOV	DEZ
Maxima	30,5	30,1	29,7	29,7	29,1	29,6	29,5	29,1	29,2	30,5	30,7	30,7
Comp	27,3	26,7	26,3	26,5	26,3	25,9	25,7	26,1	26,6	27,0	27,2	27,3
Mínima	24,7	23,2	23,8	23,4	23,4	22,1	21,8	22,8	23,4	24,5	24,4	24,6

FONTE INFMET (1991)

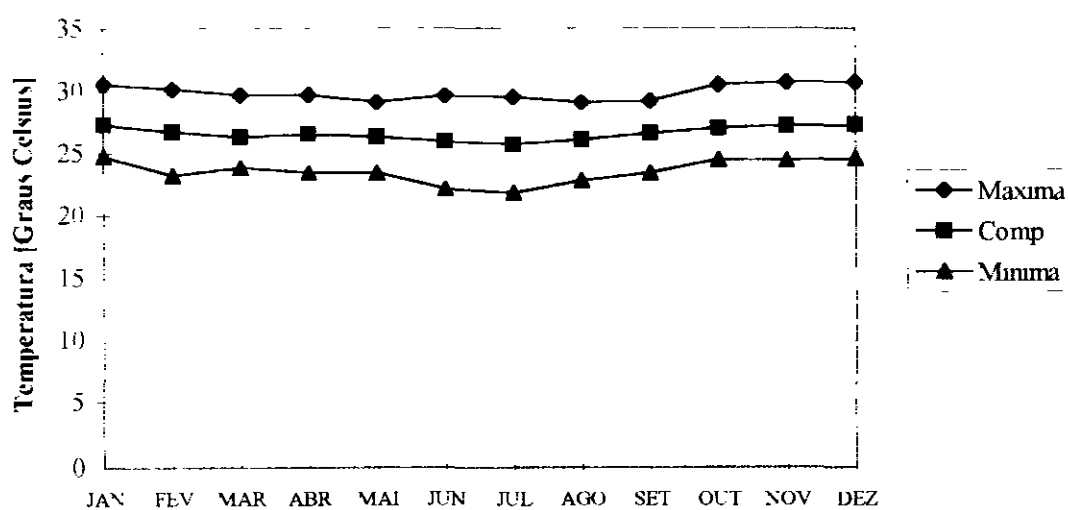


Figura 2.1-Temperaturas Máximas, Mínimas e Médias Compensadas na estação de Fortaleza

2.1.2 - Umidade Relativa

A umidade relativa média apresenta uma variação máxima de 12% referente aos meses de Abril (85%) e Outubro (73%), como pode-se verificar no quadro 2.2 e figura 2.2

Quadro 2.2 - Umidade Relativa na estação de Fortaleza

Média	JAN	FEV	MAR	ABR	MAI	JUN	JUL	AGO	SET	OUT	NOV	DEZ
%	78	79	84	85	82	80	80	75	74	73	74	76

FONTE INMET (1991)

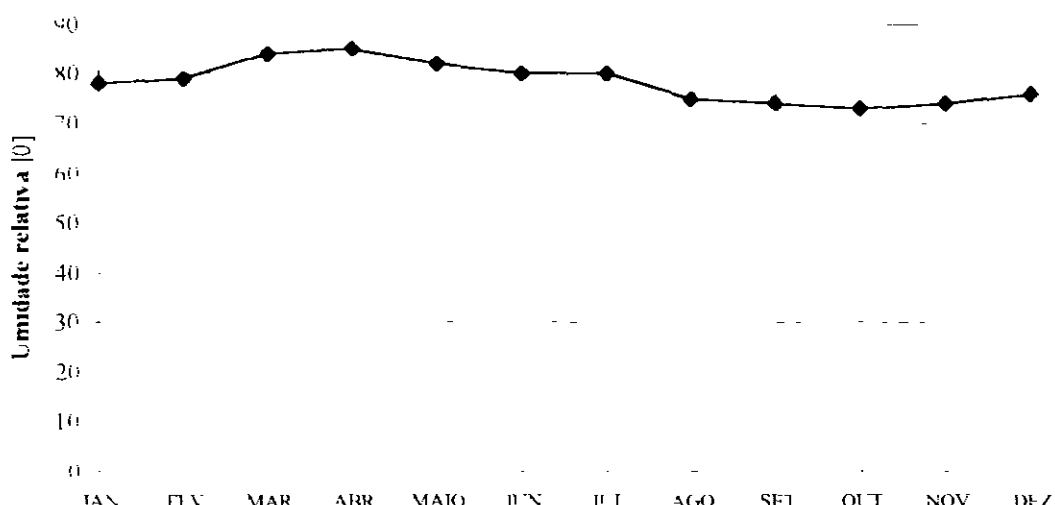


Figura 2.2-Umidade Relativa na estação de Fortaleza

Os índices de umidade medidos resultam de uma composição de efeitos climatológicos, levando-se em conta, entre estes, a pluviometria que se constitue como o principal componente do fenômeno. Assim, considerando-se a inexistência de outras estações hidroclimatológicas nas proximidades da área de estudo, a unidade é resultante da homogeneidade pluviométrica, além das pequenas oscilações dos demais parâmetros influentes.

2.1.3 - Insolação Média

O quadro 2 3 e a figura 2 3 mostram, respectivamente, o número de horas de exposição no local da estação de Fortaleza e sua distribuição mensal. Em termos atuais, no mesmo período, tem-se 2694 horas de exposição, podendo-se concluir de maneira aproximada que cerca de 62% dos dias do ano possuem incidência solar direta. O trimestre fevereiro/março/ abril, apresenta os menores valores devido ser o trimestre mais chuvoso, caracterizando um maior albedo.

Quadro 2 3 - Insolação Média na estação de Fortaleza

Média	JAN	FEV	MAR	ABR	MAI	JUN	JUL	AGO	SET	OUT	NOV	DEZ
Horas	216	175	148	153	209	240	263	169	283	296	283	257

FONTE INMET (1991)

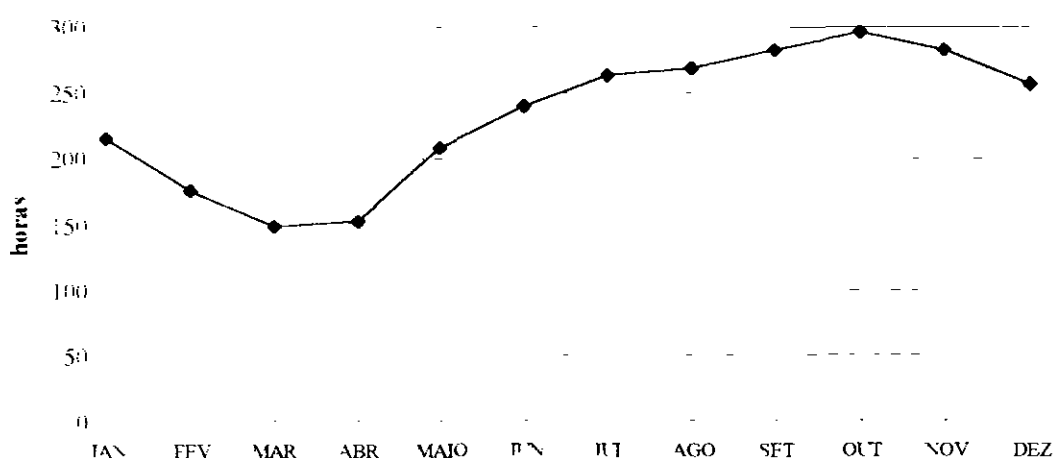


Figura 2 3-Insolação Média na estação de Fortaleza

2.1.4 - Ventos

A intensidade do vento é medida nos horários sinóticos de observação, a uma altitude de 10 m em relação a estação. Da mesma forma, a direção do vento também é medida nos três horários sinóticos, indicando a direção de onde o vento se origina.

A estação de Fortaleza apresenta suas velocidades médias dos ventos descrita no Quadro 2 4. Esta região a direção reinante dos ventos está dentro do quadrante Sudeste/Leste

Quadro 2 4 - Velocidade Média dos Ventos na estação de Fortaleza

Média	JAN	FEV	MAR	ABR	MAI	JUN	JUL	AGO	SET	OUT	NOV	DEZ
m/s	3.6	3.1	2.4	2.3	2.8	3.1	3.5	4.4	4.9	4.6	4.5	4.5

FONTE PERH(1992)

2.1.5 - Evaporação Média

A evaporação anual observada em tanque-tipo classe "A" é de 1468 mm, distribuída ao longo dos meses segundo o quadro 2 5 e figura 2 4

Quadro 1 5 - Evaporação Média na estação de Fortaleza

Média	JAN	FEV	MAR	ABR	MAI	JUN	JUL	AGO	SET	OUT	NOV	DEZ
mm	120	96	72	68	85	95	118	152	167	173	168	154

FONTE INEMET (1991)

O trimestre que apresenta os maiores valores de evaporação corresponde a setembro/outubro/novembro, ocorrendo o máximo em outubro (173,5 mm). Deve-se ressaltar, entretanto, que para adotar estes valores como representativos da evaporação em açudes, principalmente pequenos e médios, deve-se multiplicar estes valores por um coeficiente entre a evaporação do açude e a evaporação no Tanque Classe A (Ka.) Molle (1989) aconselha os valores mostrados no quadro 2 6 para Ka, em função da superfície do espelho

Quadro 2 6 - K_a em função da superfície do espelho d'água

Superfície (ha)	0 a 5	5 a 10	10 a 20	20 a 30	média
K_a	0,95	0,87	0,82	0,75	0,84

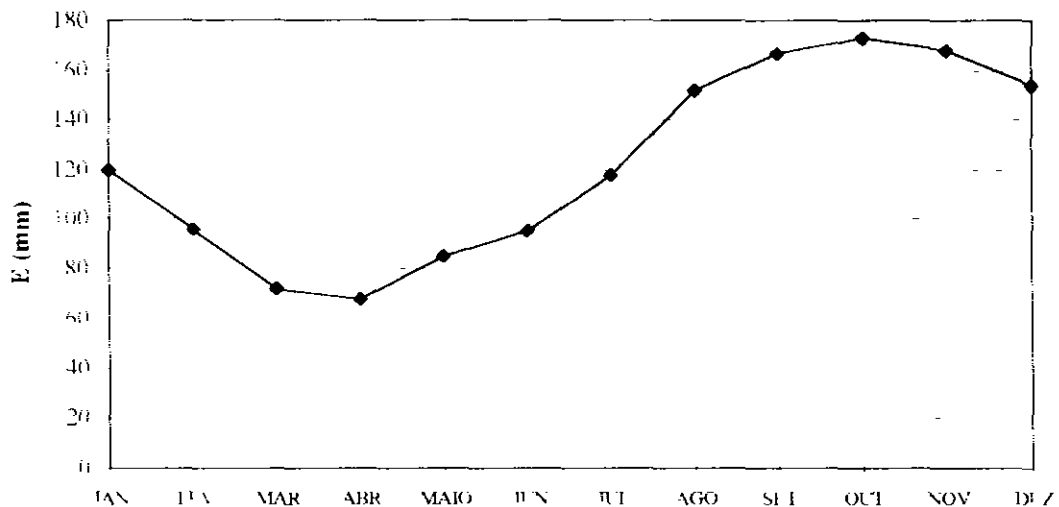


Figura 2 4 - Evaporação Média na estação de Fortaleza

2.1.6 - Evapotranspiração

Como estimativa da evapotranspiração média, foi utilizada a equação de Hargreaves² mostrada abaixo. Esta fornece a ETP em função da Temperatura média compensada, umidade relativa do ar e de um coeficiente de correção que depende da latitude do local considerado.

$$ETP = F (100,0-U)^{1/2} 0,158 (32+1,8T)$$

F - Fator dependente da latitude (adimensional)

T - Temperatura média compensada em °C

U - Umidade relativa do ar (%)

Quadro 2 7 - Evapotranspiração Potencial calculada segundo Hargreaves

Média	JAN	FEV	MAR	ABR	MAI	JUN	JUL	AGO	SET	OUT	NOV	DEZ	ANO
mm	143 9	126 4	119 1	105 7	110	105 9	111 2	135 2	145 1	159 5	151 7	149 4	1563 1

O trimestre que apresenta os maiores valores de evapotranspiração corresponde a outubro/novembro/dezembro, ocorrendo o máximo em outubro (159 mm). O trimestre abril/maio/junho possui o menor índice de evaporação, ocorrendo o mínimo em junho com 106 mm.

2 2 - BALANÇO HÍDRICO

O princípio da conservação da massa à água aplicado a um determinado local ou área (em um dado volume de controle), nos fornece a diferença entre o ganho (precipitação) e o consumo (escoamento superficial e profundo, evaporação ou evapotranspiração). Este princípio é a base do balanço hídrico, concebido por Thornthwaite & Mather em 1955, e tem sido utilizado amplamente quando não se dispõe de muitos dados para um estudo mais apurado.

Aplicando-se a metodologia do balanço hídrico para a bacia em questão, supondo-se uma capacidade de armazenamento de 100 mm (PERH, 1990)³, obtém-se o quadro 2 8

¹HARGREAVES, G H 1974, POTENTIAL EVAPOTRANSPIRATION AND IRRIGATION REQUIREMENTS FOR NORTH-EAST OF BRAZIL, UTAH STATE UNIVERSITY

³PERH, 1990 PLANO ESTADUAL DE RECURSOS HIDRICOS DO ESTADO DO CEARÁ.

Quadro 2 8 - Balanço Hídrico segundo Thornthwaite e Mather

Mês	P mm	ETP* mm	P-ETP mm	Neg mm	ARM mm	ALT mm	ETR mm	DEF mm	EXC mm
Jan	80,85	120,10	-39,25	0,00	0,00	0,00	80,85	39,25	0,00
Fev	168,05	95,50	72,55	32,00	72,55	72,55	95,50	0,00	0,00
Mar	276,00	72,40	203,60	0,00	100,00	27,45	72,40	0,00	176,15
Abr	286,10	68,10	218,00	0,00	100,00	0,00	68,10	0,00	218,00
Maio	191,05	84,60	106,45	0,00	100,00	0,00	84,60	0,00	106,45
Jun	93,80	94,70	-0,90	0,90	100,00	0,00	93,80	0,90	0,00
Jul	47,55	118,30	-70,75	71,65	48,00	-52,00	99,55	18,75	0,00
Ago	14,15	151,80	-137,65	209,30	12,00	-36,00	50,15	101,65	0,00
Set	13,65	167,80	-154,15	363,45	2,00	-10,00	23,65	144,15	0,00
Out	10,30	173,50	-163,20	526,65	0,00	-2,00	12,30	161,20	0,00
Nov	11,00	168,10	-157,10	683,75	0,00	0,00	11,00	157,10	0,00
Dez	30,85	154,30	-123,45	807,20	0,00	0,00	30,85	123,45	0,00
ANO	1223,35	1469,20	-245,85		534,55	0,00	722,75	746,45	500,60

(*) ETP calculada com a fórmula de Thornthwaite

2 3 - CLASSIFICAÇÃO DO CLIMA

2.3.1 - Classificação segundo Thornthwaite

Segundo esta classificação, além da característica pluviométrica e térmica, a evapotranspiração potencial é também considerada elemento determinante do clima. Como forma de auxiliar na classificação de tipos e subtipos climáticos, três parâmetros foram introduzidos por Thornthwaite, a saber:

- Índice de aridez

O índice de aridez vem a ser a deficiência hídrica expressa em porcentagem da evapotranspiração potencial, este índice apresentou o valor 43 (quadro 2 8)

- Índice de umidade

O índice de umidade é o excesso de água (Exc) expresso em percentagem da necessidade que é representado pela evapotranspiração potencial (ETP), este índice apresentou um valor de 18 (quadro 2 8)

- Índice efetivo de umidade

Este índice reflete o excesso ou déficit de água ao longo do ano, apresentando um valor igual a -8 (quadro 2.8)

Com base nestes índices, os dados para a área de estudo, mostram um clima seco e sub-úmido, tipo C1, com índice efetivo de umidade variando entre 0% e -20%, sub-tipo S, com índice de aridez superior a 33%, tipo A', megatérmico e sub-tipo a', baixa variação estacional (C1SA'a')

2.3.2 - Classificação segundo Koeppen

Segundo Koeppen existem cinco zonas diferentes de clima na terra, associadas a valores de temperatura e precipitação de acordo com a vegetação

De acordo com esta classificação, a região do estudo encontra-se classificada como Zona de Climas secos, tipo B. As chuvas são classificadas devido a sua sazonalidade como do tipo W, estação seca de inverno. O clima, segundo o aspecto térmico, é do tipo h, quente, já que sua temperatura média anual é superior a 18 °C. Sendo pois o clima da região em estudo classificado como Bwh.

3 - ESTUDOS PLUVIOMÉTRICOS

3 - ESTUDOS PLUVIOMÉTRICOS

A pluviometria do Estado foi detalhadamente analisada por ocasião do PERH (Plano Estadual de Recursos Hídricos do Estado do Ceará, 1990), sendo esta análise iniciada com a coleta dos registros inventariados e atualizados até 1988 pela SUDENE (Superintendência do Desenvolvimento do Nordeste). Esta etapa foi seguida por várias outras, entre as quais destaca-se, para os fins deste trabalho a caracterização do regime pluviométrico em vários intervalos de tempo e o estabelecimento de série pluviométrica média para as bacias hidrográficas dos açudes de médio e grande porte.

3.1 - DADOS UTILIZADOS

A série pluviométrica bruta utilizada neste estudo foi inicialmente tratada pelo método do Vetor Regional (HIEZ, 1978), destinado à identificação de inconsistências nas série histórica. Estas inconsistências podem ser originadas por erros de observação, podendo tais erros ocorrerem sistematicamente ou isoladamente em um certo período.

Apenas dois postos foram utilizados neste estudo, ambos próximos à área de interesse, bacia do Rio Catu, sendo o primeiro posto o posto Aquíraz (2873824), homônimo de sua localidade, próximo a foz do Rio Catu, e o segundo, o posto Açude Riachão (2882188) nas proximidades da cabeceira da bacia. Na estimativa dos dois vetores regionais, um a nível anual e o outro a nível mensal, foram utilizados 9 postos reunidos no grupo regional de Fortaleza, (PERH, 1990), por apresentarem médias dos totais anuais mais próximas, além de estarem localizados em regiões de pouca variação de altitude.

Inicialmente foi considerado o intervalo anual, para o qual analisou-se as duplas massas entre a pluviometria anual e a série sintética obtida a partir do vetor regional associado. Esta análise permite a identificação de anomalias, ou seja, valores que divergem do padrão, este definido com base na informação de todos os postos pelo princípio da máxima verossimilhança.

A seguir prossegue-se com a análise, à nível mensal, utilizando o vetor regional mensal, buscando os meses que apresentam desvios consideráveis para aqueles anos de desvios consideráveis em relação ao valor sintético, sendo corrigidos os de maior contribuição para o desvio a nível anual. Os valores diários são compatibilizados pelo princípio da desagregação nos meses que sofreram a correção. Para maiores detalhes, consultar o PERH - SRH, 1990 - Relatório Geral - Diagnóstico.

O quadro 3.1 mostra os postos pluviométricos que compõem o grupo regional de Fortaleza, ou seja, aqueles utilizados na formação do Vetor Regional, do qual fazem parte os postos Açude Riachão e Aquiraz (sombreados), utilizados para este estudo. Como pode-se observar para a bacia do riacho Catu (postos sombreados), existe um gradiente positivo dos totais anuais à medida que se aproxima do litoral, partindo-se de cerca de 1070 mm nas proximidades da cabeceira da bacia até próximo dos 1350 mm ao se chegar ao litoral.

Quadro 3.1 - Postos utilizados na formação do vetor GRUPO FORTALEZA

POSTO	CÓDIGO	COORDENADAS		ALTITUDE m	MÉDIA ANUAL mm
		LATITUDE	LONGITUDE		
Fortaleza Central	2872496	3°44'	38°32'	26	1391,4
Fortaleza (Escola Regional)	2872594	3°45'	38°32'	26	1414,5
Mondubim	2872684	3°48'	38°35'	30	1236,3
Angicos	2883435	4°13'	38°20'	35	835,5
Cascavel	2883256	4°08'	38°14'	30	1304,1
Bau	2882268	4°07'	38°40'	59	1233,8
Guaiuba	2882076	4°02'	38°38'	59	1157,8
Açude Riachão	2882188	4°04'	38°34'	60	1069,9
Aquiraz	2873824	3°54'	38°23'	30	1532,5

Fonte: DNAEE (1983) e PERH (1990).

3.2 - CARACTERIZAÇÃO DO REGIME PLUVIOMÉTRICO

3.2.1 - Nível Anual

As isoletas, linhas de mesma precipitação média, e iso-cv's (coeficientes de variação) estão apresentadas nas figuras 3.1 e 3.2, que mostram a região do norte do estado, onde se acha assinalada a área do estudo. A área de estudo apresenta, segundo análise destas figuras, média pluviométrica entre 1000 e 1400 mm com um coeficiente de variação em torno de 0,40.

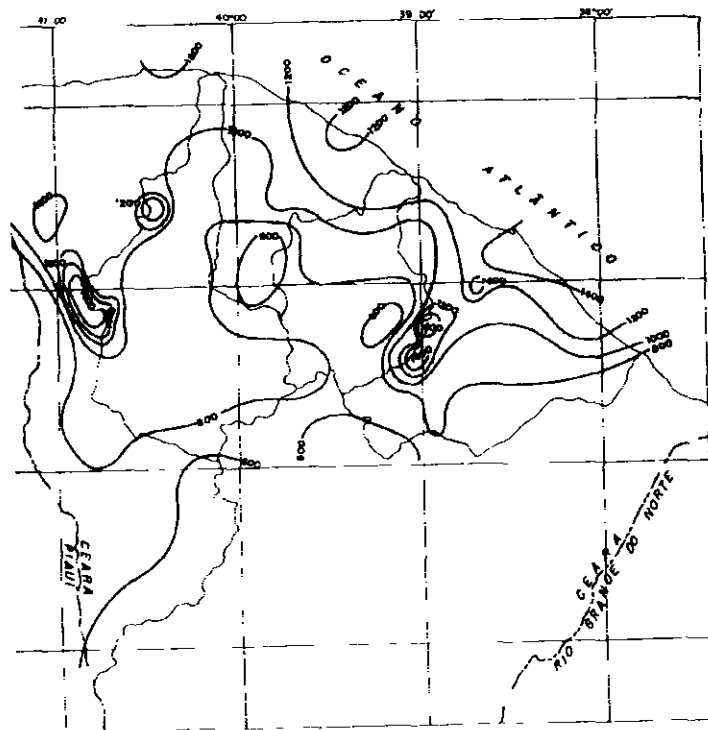


Figura 3 1- Isoletas da parte norte do Estado do Ceará

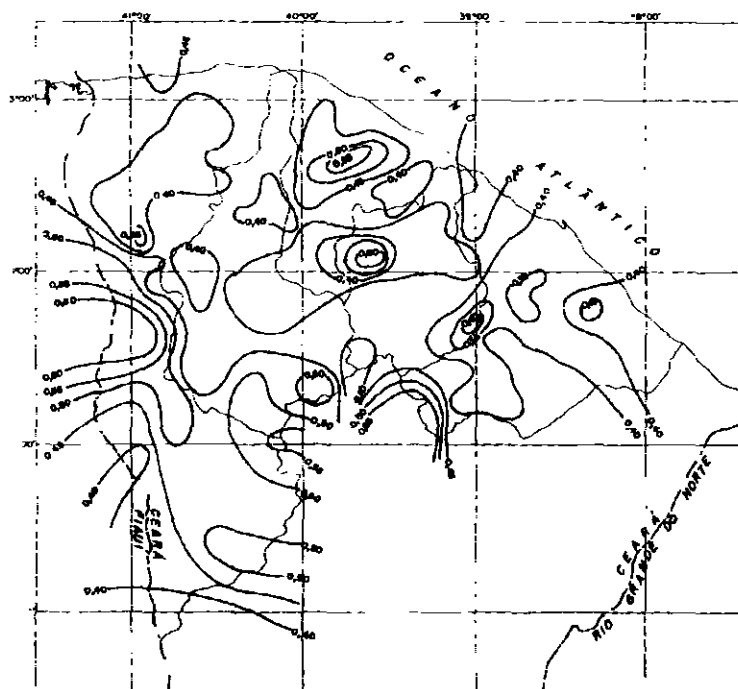


Figura 3 2- Isolinhas de CV para o Estado do Ceará

Uma análise frequencial foi realizada para os postos escolhidos de Cascavel e Angicos, sendo testadas várias distribuições, e escolhida a Log-Pearson III como a de melhor ajuste, sendo seus parâmetros estimados pelo método dos momentos. O quadro 3.2 resume esta análise de frequência. As diferenças para os tempos de retorno alto são devidas fundamentalmente à extensão das séries com dados disponíveis em cada posto.

Quadro 3.2 - Análise de Frequência dos Totais Anuais Distribuição Log-Pearson III

anos	PERÍODOS DE RETORNO (ANOS)					
	10	50	100	500	1000	
2873824 - Aquiraz						
47	2042,92	2417,60	3195,24	3510,00	4217,83	4516,39
2882188 - Açude Riachão						
51	1415,65	1640,77	2117,68	2315,88	2775,48	2975,96

3.2.2 - Nível Mensal

A análise da distribuição temporal mostra a concentração do total precipitado no primeiro semestre do ano, correspondendo a cerca de 91% do total anual.

A nível trimestral nota-se mais ainda a gravidade da concentração temporal, onde constata-se que cerca de 62 % do total anual precipita-se em apenas três meses do ano, no trimestre Março/Abril/Maio. Neste trimestre o mês de abril corresponde ao mais chuvoso, com cerca de 24 % do total anual.

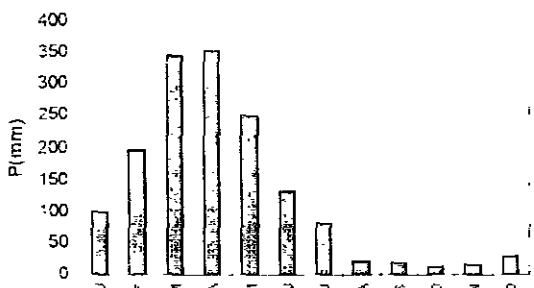
No quadro 3.3 mostra-se um resumo dos índices nos três níveis (mensal, trimestral e semestral), enquanto que no quadro 3.4 apresenta-se um resumo da análise de frequência utilizando a série de totais mensais para o mês mais chuvoso nos postos considerados. Os períodos de retorno utilizados variam de 5 a 1000 anos, com totais pluviométricos obtidos por ajustamento da distribuição Log-Pearson III.

Quadro 3.3 - Índices de Concentração Fluviométrica Série de Valores Médios Mensais

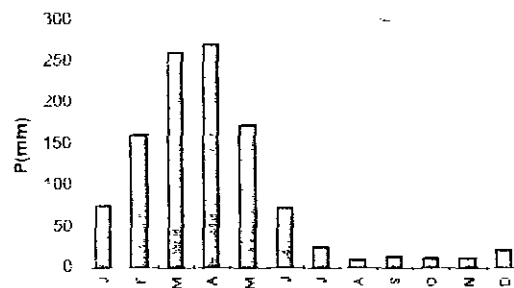
MENSAL			TRIMESTRAL			SEMESTRAL		
MÊS	VALOR	%ANO	TRI	VALOR	%ANO	SEM	VALOR	%ANO
2873824 - Aquiraz								
ABRIL	351,4	22,8	MAM	935,4	60,7	1	1372,30	89,0
2882188 - Açude Riachão								
ABRIL	264,21	24,5	MAM	682,9	63,3	1	999,3	92,6

Quadro 3 4 - Análise de Frequência a Nível Mensal Distribuição Log-Pearson III

anos	PERÍODOS DE RETORNO (ANOS)					
	5	10	50	100	500	1000
2873824 - Aquiraz						
51	509,60	619,49	832,03	910,85	1071,63	1132,54
2882188 - Açude Riachão						
56	423,66	545,01	789,07	881,01	1068,02	1137,90



(a) 2873824



(b) 2882188

Figura 3 3 - Hietogramas de chuva média das estações Aquiraz (a) e Açude Riachão (b)

3.2.3 - Nível Diário

Os principais tipos de precipitações da região são em decorrência da elevação brusca das massas de ar por efeito térmico. A probabilidade de ocorrência de dias chuvosos no período úmido é considerável.

Na análise hidrológica de prováveis obras hidráulicas, os eventos de alta frequência assumem uma importância maior com relação aos de baixa. Aqui foram utilizadas séries de máximos diários no semestre mais chuvoso.

Diversas distribuições podem ser utilizadas como teóricas para as frequências observadas. Depois de comparar diversas distribuições para valores extremos, foi escolhida a Log-Pearson III, cujas estimativas para vários períodos de retorno encontram-se no quadro 3 5.

Quadro 3 5 - Análise de Frequência a Nível Diário Distribuição Log-Pearson III

N anos	PERÍODOS DE RETORNO (ANOS)					
	5	10	50	100	500	1000
2873824 - Aquiraz						
51	119,8	137,31	177,5	195,7	241,7	263,6
2882188 - Açude Riachão						
57	94,3	110,8	153,5	174,9	234,7	266,0

3.2.4 - Chuvas Intensas

Para projetos de obras hidráulicas em geral é importante a caracterização do regime pluviométrico em intervalos de tempo inferiores a 24 horas. A definição da vazão de projeto, por exemplo de canais integrantes da rede de drenagem, obras d'arte, está vinculada a determinação da relação intensidade-duração-freqüência pluviométrica.

3.2.4.1 - Equação de chuva

Para a caracterização do regime de chuvas intensas da região pode-se sem dúvida utilizar-se da tradicional equação de chuvas intensas de Fortaleza, mostradas a seguir:

$$I = \frac{528.076 T^{0.148}}{(t+6)^{0.62}}, \text{ para } t \leq 120 \text{ min} \quad \text{e} \quad I = \frac{54.50 T^{0.194}}{(t+1)^{0.86}}, \text{ para } t > 120 \text{ min}$$

onde I é a intensidade de chuva (mm/h), T o tempo de retorno (anos) e t a duração em minutos para a primeira fórmula e em horas para a segunda.

O quadro 3 6 mostra os valores da chuva pontual calculados a partir da equação acima. Já a Figura 3 4 mostra as curvas altura-duração-freqüência para diferentes tempos de retorno.

Quadro 3 6 - Chuva pontual (mm) de acordo com a equação de chuva de Fortaleza

DURAÇÃO (h)	PERÍODOS DE RETORNO				
	100	200	500	1000	10000
CHUVA PONTUAL					
0.1	22.37	24.78	28.38	31.45	44.22
1	77.73	86.13	98.63	109.29	153.67
24	200.62	229.5	274.14	313.6	490.21

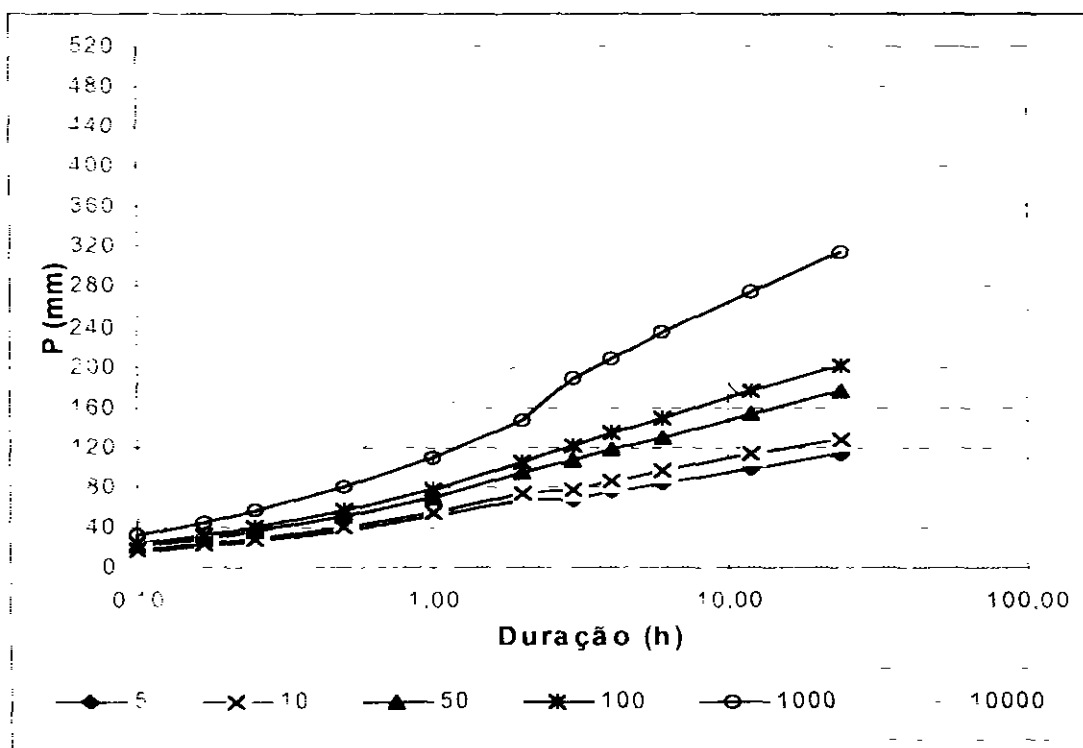


Figura 3 4 - Curvas Altura - Duração - Frequência para Fortaleza

3 2 4 2 - Método das Isozonas (TORRICO, 1975)⁴

Este método consiste na desagregação da chuva de 1 dia em 24 horas e a partir desta em durações menores

A desagregação da chuva de 24 horas em chuvas de intervalos de tempo de menor duração consiste nas seguintes etapas de cálculo

⁴TORRICO, J T., 1975 PRATICAS HIDROLÓGICAS, 2a Ed. TRANSCOM. RIO DE JANEIRO

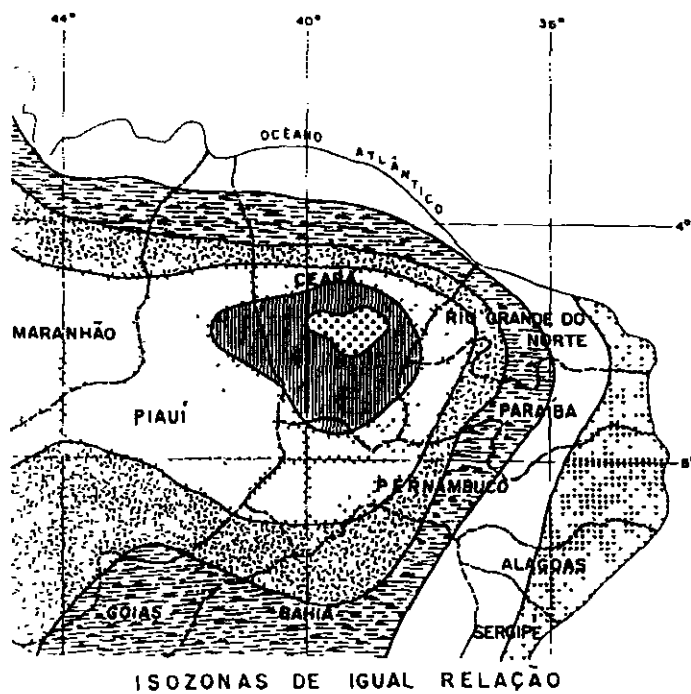
- multiplicar a chuva de um dia de duração por 10 para obter-se a chuva de 24 horas,
- determinar a Isozona onde está localizado o centro de gravidade da bacia hidrográfica - a barragem Catu está localizada dentro da Isozona C (figura 3.1),
- estimar para os diferentes períodos de retorno, a chuva de 1 hora de duração a partir da chuva de 24 horas, através da multiplicação pelo fator R1h,
- plotar os valores P24h e P1h em papel probabilístico para obter as chuvas de durações intermediárias

Aplicou-se a metodologia acima descrita para cada o posto pluviométricos 2873824 e 2882188, cujos resultados são apresentados no quadro 3.7

Quadro 3.7 - Chuva pontual (mm) de acordo com o método das Isozonas

DURAÇÃO (h)	TEMPO DE RETORNO (ANOS)								
	5	10	15	20	25	30	50	100	1000
0.1	10.0	11.7	12.6	13.5	14.5	15.4	14.7	14.8	18.4
1	41.6	48.4	51.9	55.4	59.0	62.6	65.5	73.9	108.9
24	103.8	121.9	131.4	141.0	150.6	160.1	168.8	192.4	292.7
DIÁRIA	94.3	110.8	119.5	128.2	136.9	145.6	153.5	174.9	266.1

Como pode-se observar nos quadros 3.6 e 3.7, os valores obtidos através das duas metodologias forneceram valores que possuem a mesma ordem de grandeza, sendo que a aplicação da equação de chuva intensas de Fortaleza resultou em valores superiores aos do método das Isozonas



ISOZONA	TEMPO DE RECORRÊNCIA EM ANOS										5 mm 24h CHUVA	
	1 HORA / 24 HORAS CHUVA										5 mm 24h CHUVA	
	5	10	15	20	25	30	50	100	1000	10.000	50	100
B	36,1	37,8	37,4	37,4	37,3	37,2	36,8	36,8	35,4	34,3	8,4	7,5
C	40,1	39,7	39,5	39,3	38,2	38,1	38,0	38,4	37,2	36,2	9,6	9,0
D	42,0	41,8	41,4	41,2	41,1	41,0	40,7	40,3	38,0	37,8	11,2	10,0
E	44,0	43,6	43,3	43,2	43,0	42,2	42,8	42,2	40,9	39,6	12,6	11,2
F	46,0	45,3	45,3	45,1	44,9	44,8	44,5	44,1	42,7	41,3	15,8	12,4
G	47,9	47,4	47,2	47,0	46,9	46,7	46,4	45,9	44,5	43,1	16,6	13,7
H	49,9	49,6	49,1	48,9	48,0	48,6	48,3	47,0	46,3	44,8	16,7	14,9

Figura 3 4 - Método das Isozonas de Taborga

4 - ESTUDO DE DEFLÚVIOS

4 - ESTUDO DE DEFLÚVIOS

O objetivo básico deste capítulo consiste na definição das séries de vazões afluentes ao boqueirão no riacho Catu, produto das chuvas que ocorrem em sua bacia hidrográfica. Estas séries fluviométricas podem ser utilizadas como base para estudos direcionados a estudos de construção de pequenos e médios açudes e para avaliação de alternativas para projetos de irrigação na área.

4.1 - METODOLOGIA

A execução de projetos, tais como, o dimensionamento de reservatórios, requer a utilização de dados de séries fluviométricas. Devido ao elevado custo de implantação e manutenção das estações fluviométricas, o número destas é inferior ao de pluviométricas. No caso particular da bacia do Riacho Catu em Cíntzenta com área de 64,5 km², não existe nenhum posto fluviométrico, tendo sido utilizado para a pluviometria, os postos Aquiraz (2873824) e Açude Riachão (2882188). Resta então fazer uso de modelos de transformação chuva-vazão, os quais permitem, a partir de séries pluviométricas e de valores dos parâmetros destes modelos, determinados em uma região de características semelhantes, gerar séries de dados fluviométricos para a região de interesse.

Como foi descrito anteriormente, na bacia ou na suas proximidades existem dados pluviométricos de estações próximas à área de estudo que foram consistidos e utilizados por ocasião da elaboração do PERH-CE. Estas informações serão utilizadas pelo modelo MODHAC⁵, esquematicamente apresentado na figura 3.1, o qual utiliza dados de precipitação média diária.

⁵ MODHAC - Modelo Hidrológico Auto Calibrável - A.E.L. Lanna & M. Schwarzbach - 1989. Publicação de Recursos Hídricos 21 - Instituto de Pesquisas Hidráulicas I.P.H. - U.F.R.G.S.

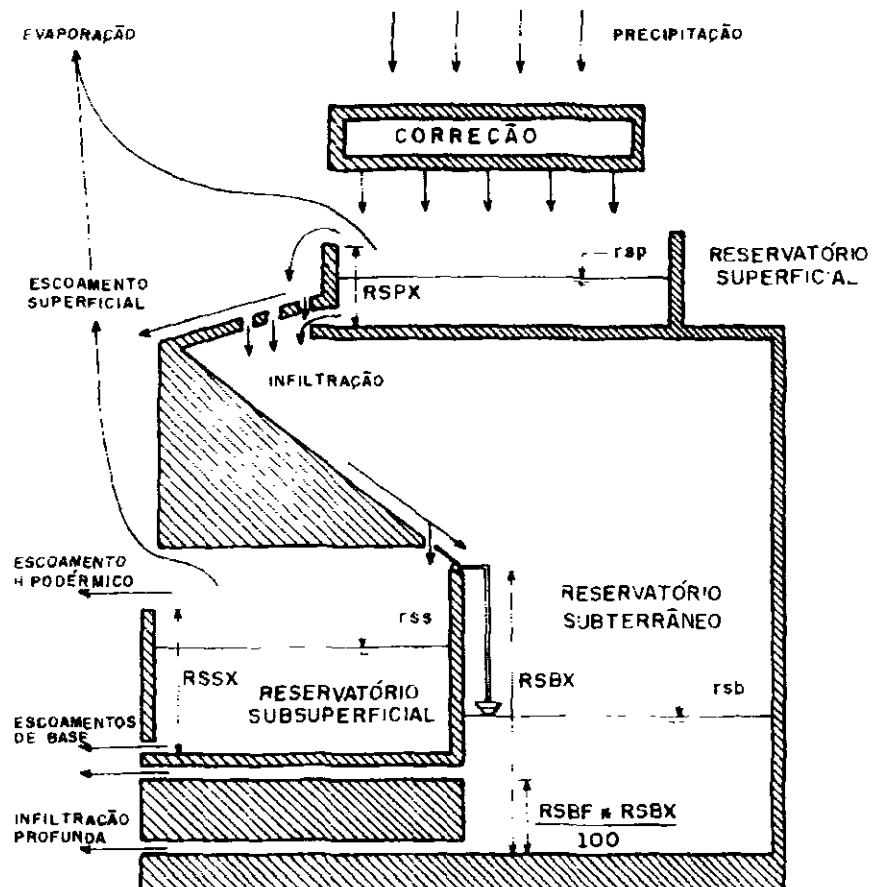


Figura 4.1 - Esquema do Modelo MODHAC

O modelo MODHAC é composto de três reservatórios fictícios dispostos em série, cada um com seus parâmetros de ajuste próprios. Estes reservatórios fictícios serão descritos, resumidamente, a seguir.

RESERVATÓRIO SUPERFICIAL permite simular os processos de interceptação da água pela vegetação, o armazenamento nas depressões impermeáveis e semi-permeáveis do solo. Seus parâmetros são:

RSPX: capacidade máxima do reservatório superficial, e

ASP: expoente utilizado para determinar a lei de esvaziamento deste reservatório, proporcional à permeabilidade do reservatório

RESERVATÓRIO SUB-SUPERFICIAL: permite representar a água armazenada dentro do solo, desde a superfície do terreno até a profundidade radicular das plantas. A recarga deste reservatório é a infiltração e as descargas são o escoamento hipodérmico, evaporação do solo e a evapotranspiração das plantas. São seus parâmetros

RSSX: capacidade máxima do reservatório sub-superficial, e

ASS: expoente utilizado para determinar a lei de esvaziamento deste reservatório, proporcional a permeabilidade das camadas mais superficiais do solo

RESERVATÓRIO SUBTERRÂNEO: representa o armazenamento da água nas camadas mais profundas do solo onde não existe nem evapotranspiração das plantas, nem evaporação do solo. A recarga deste reservatório é a percolação profunda do reservatório sub-superficial e a descarga é o escoamento de base. Seus parâmetros são

RSSB: capacidade máxima do reservatório subterrâneo, e

ASB: expoente utilizado para determinar a lei de esvaziamento deste reservatório, proporcional à transmissividade das camadas mais profundas do solo

Alem destes coeficientes próprios de cada reservatório fictício, existem outros que permitem representar as características do solo e da evaporação. São eles

IMIN: infiltração mínima observada,

IMAX: representa a capacidade de percolação de todo o horizonte do solo,

IDEC: parâmetro que permite representar uma gama de valores compreendida entre o ponto onde não existe infiltração e o ponto que representa toda a água infiltrada, e

CEVA: parâmetro da lei de evapotranspiração do solo

4.2 - CALIBRAÇÃO DO MODHAC E GERAÇÃO DE VAZÕES

Os dados necessários para a calibração do MODHAC são pluviometria diária, séries fluviométricas mensais/diárias e evapotranspiração potencial. Devido à inexistência de estações fluviométricas na bacia do Riacho Catu, optou-se por utilizar valores dos parâmetros do MODHAC obtidos na calibração deste em uma região hidrologicamente semelhante. Esta hipótese simplificadora assume que os parâmetros utilizados são representativos para simular os processos de transformação chuva-vazão que ocorrem na bacia do Riacho Catu em Cinzenta. Assim, a partir dos valores destes parâmetros obtidos pela calibração do MODHAC para o posto situado no Riacho Bau, afluente do Rio Pacoti, é possível gerar séries de vazões a partir de séries de precipitações da área de interesse, e com extensão igual destas últimas. O quadro 3.1 apresenta os parâmetros utilizados pelo modelo MODHAC para geração de série de vazões mensais. Um exemplo da série gerada compreendendo o período contínuo de 1961 a 1981 encontra-se apresentada na figura 3.2, sendo obtida a partir dos parâmetros escolhidos (posto Bau) e da precipitação média da bacia calculada com base nos postos de Aquiraz (2873824) e Açude Riachão (2882188).

Quadro 4.1 - Parâmetros Utilizados pelo Modelo MODHAC

RSPX mm	RSSX mm	RSBX	RSBF	IMAX Mm/ Dia	IMIN mm/ dia	IDEC	ASP	ASS	ASB	PRED	CEVA
178.8	266.5	0,0	0,0	40,66	3,81	0,55	0,0010	0,0010	0,0	999,0	0,0801

Em anexo estão os relatórios de saída do modelo MODHACX para o período de simulação, de 1921 a 1981 com falhas, contendo informações a cerca da lâmina precipitada e escoada, evapotranspiração e do armazenamento em cada reservatório.

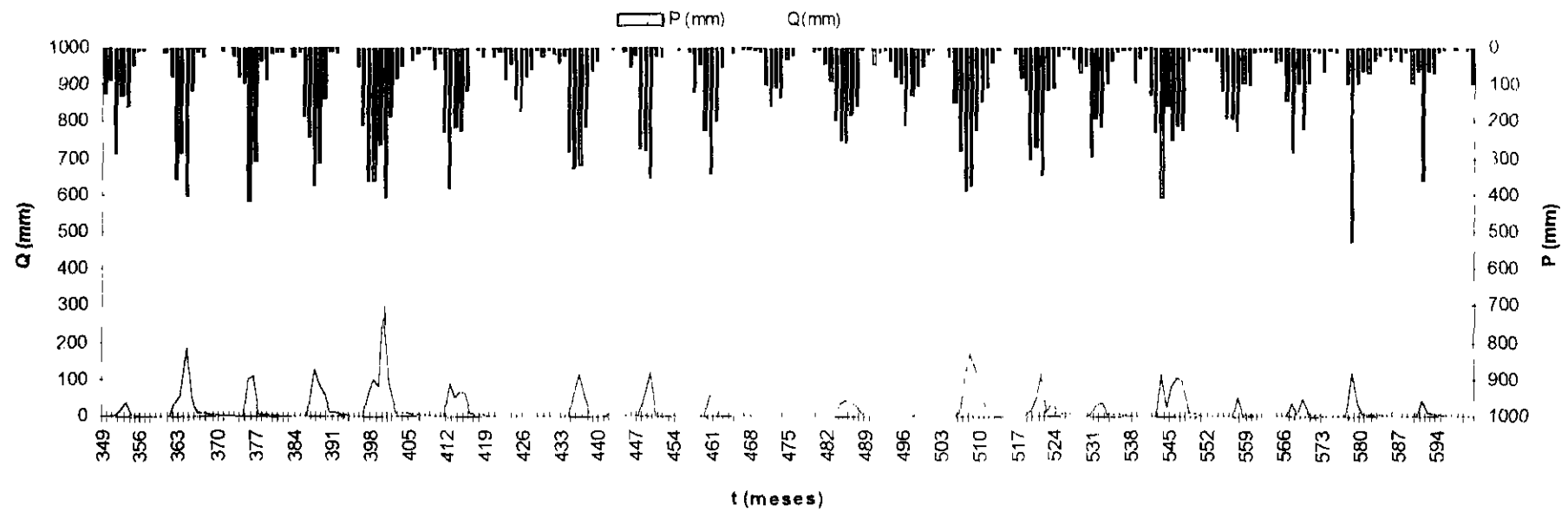


Figura 4.2 - Resultados da Simulação do Modelo MODHACX para a Bacia do Rio Catu em Cíntzenta Período de 1961 a 1981

P - Precipitação (mm)

Q - lâmina escoada (mm)

4.3 - CARACTERIZAÇÃO DO REGIME DE DEFLUVIOS

O coeficiente de deflúvio, calculado pela razão entre a lâmina escoada e a precipitada, situa-se em torno de 18%. O regime de escoamento no local da futura barragem pode ser melhor caracterizado pelos seguintes valores

- lâmina anual média escoada = 202 mm
- volume anual médio escoado = 13,025 hm³
- coeficiente de variação dos deflúvios anuais = 0,90

Quadro 4.2 - Deflúvio médio mensal (mm) simulado - período 1921-1981

ANO	JAN	FEV	MAR	ABR	MAI	JUN	JUL	AGO	SET	OUT	NOV	DEZ	TOTAL
1921	1 2	1 2	169 8	234 7	196 4	8 0	7 9	7 5	4 8	3 3	2 0	1 7	638 6
1922	0 8	0 4	0 4	64 3	69 8	14 9	7 1	6 6	5 2	2 9	1 2	0 8	174 4
1923	0 0	0 0	10 0	53 4	8 7	3 2	3 3	2 5	1 2	0 4	0 0	0 0	82 8
1924	0 0	12 0	129 1	169 6	258 7	108 1	8 3	7 5	4 4	2 5	1 2	0 4	701 9
1925	0 0	0 0	0 0	119 8	37 8	5 6	5 4	3 3	2 0	0 8	0 4	0 0	175 1
1926	0 0	0 0	59 0	113 7	37 4	7 6	7 5	5 4	2 8	1 2	0 4	0 0	235 0
1927	0 0	0 0	44 8	121 4	42 4	7 2	7 1	5 8	2 8	1 7	0 4	0 0	233 5
1928	0 0	0 0	0 0	86 4	17 4	3 6	3 3	1 7	0 8	0 4	0 0	0 0	113 7
1929	0 0	0 0	46 9	72 3	33 6	6 4	6 2	4 6	2 4	1 2	0 4	0 0	174 2
1930	0 0	0 0	0 0	29 7	1 2	1 2	1 2	1 2	0 4	0 0	0 0	0 0	35 1
1931	0 0	0 0	36 5	21 7	2 9	2 8	2 5	1 7	0 8	0 0	0 0	0 0	68 9
1932	0 0	0 0	22 0	1 2	1 2	0 8	0 4	0 0	0 0	0 0	0 0	0 0	25 7
1933	0 0	0 0	0 0	157 9	26 2	6 0	5 4	3 3	1 6	0 8	0 0	0 0	201 3
1934	0 0	21 4	163 6	127 4	193 5	8 0	7 9	6 2	3 2	1 7	0 8	0 4	534 1
1935	0 0	0 0	39 4	131 4	147 8	25 7	8 3	7 5	4 4	2 5	1 2	0 4	368 7
1936	0 0	0 0	0 0	0 0	0 0	0 0	0 0	0 0	0 0	0 0	0 0	0 0	0 0
1937	0 0	0 0	13 7	143 9	53 2	59 5	8 3	7 1	4 0	2 5	0 8	0 4	293 3
1938	0 0	0 0	147 8	336 8	11 2	8 0	7 9	6 2	3 2	1 7	0 8	0 4	524 1
1939	0 0	116 9	26 6	39 4	39 0	8 0	7 9	6 6	4 0	2 5	1 6	0 8	253 4
1940	0 0	0 0	0 0	129 4	70 6	8 0	7 9	7 5	4 4	2 5	0 8	0 4	231 5
1941	0 0	0 0	0 0	0 0	0 0	0 0	0 0	0 0	0 0	0 0	0 0	0 0	0 0
1950	0 0	0 0	0 0	0 0	17 4	8 0	1 2	1 2	0 4	0 0	0 0	0 0	28 4
1951	0 0	0 0	3 7	141 5	22 0	7 2	7 1	4 6	2 4	1 2	0 4	0 0	190 1
1952	0 0	0 0	0 0	0 0	0 0	0 4	0 4	0 0	0 0	0 0	0 0	0 0	0 8

Quadro 4 2 - Deflúvio médio mensal (mm) simulado - período 1921-1981
 (continuação)

ANO	JAN	FEV	MAR	ABR	MAI	JUN	JUL	AGO	SET	OUT	NOV	DEZ	TOTAL
1953	0 0	0 0	4 2	118 5	37 0	6 0	5 8	3 7	2 0	0 8	0 0	0 0	178 1
1955	0 0	0 0	0 0	7 2	13 3	1 2	1 2	0 4	0 0	0 0	0 0	0 0	23 4
1956	0 0	0 0	0 0	3 6	53 6	2 4	2 5	1 7	0 8	0 0	0 0	0 0	64 6
1957	0 0	0 0	0 0	35 0	1 7	1 6	1 2	0 4	0 0	0 0	0 0	0 0	39 9
1959	0 0	0 0	89 7	98 5	17 4	6 8	6 2	3 7	2 0	0 8	0 0	0 0	225 2
1961	0 0	0 0	6 6	16 5	36 5	2 8	2 5	1 7	0 8	0 0	0 0	0 0	67 4
1962	0 0	37 3	55 2	183 7	43 2	8 0	7 5	5 0	2 8	1 2	0 4	0 0	344 3
1963	0 0	0 0	98 8	110 1	6 2	6 0	5 8	3 7	2 0	0 8	0 4	0 0	234 0
1964	0 0	0 0	128 7	86 4	56 5	8 0	7 9	5 4	2 8	1 2	0 4	0 4	297 8
1965	61 5	101 0	80 6	298 6	87 2	11 7	8 3	7 5	4 8	2 9	1 2	0 4	665 6
1966	0 0	0 0	0 0	87 6	54 0	64 3	59 0	7 9	5 2	2 9	1 6	0 4	282 9
1967	0 0	0 0	0 0	0 0	0 0	0 0	0 0	0 0	0 0	0 0	0 0	0 0	0 0
1968	0 0	0 0	64 4	110 9	59 0	8 4	7 9	7 1	4 0	2 1	0 8	0 4	264 9
1969	0 0	0 0	0 0	68 3	117 5	6 4	6 6	5 0	2 8	1 2	0 4	0 0	208 4
1970	0 0	0 0	0 0	56 7	52 7	4 4	4 6	3 7	2 0	0 8	0 0	0 0	125 0
1971	0 0	0 0	0 0	0 0	0 0	0 0	0 0	0 0	0 0	0 0	0 0	0 0	0 0
1972	0 0	0 0	0 0	35 0	40 3	32 6	23 3	6 2	4 8	2 9	1 6	0 4	147 0
1973	0 0	0 0	0 0	0 0	4 2	0 8	0 8	0 8	0 4	0 0	0 0	0 0	7 0
1974	0 0	9 3	109 2	170 8	116 3	49 8	8 3	7 9	6 8	4 2	2 0	0 8	485 4
1975	0 4	0 0	12 9	48 6	113 4	7 6	38 6	8 3	6 4	3 7	1 6	1 2	242 9
1976	0 4	3 9	30 3	37 8	3 7	3 6	3 7	2 5	1 2	0 4	0 4	0 0	88 0
1977	0 0	0 0	115 4	25 7	78 1	102 9	94 7	8 3	7 2	4 6	2 4	1 2	440 5
1978	0 4	0 0	0 0	0 4	51 9	4 8	2 9	2 9	2 0	0 8	0 4	0 0	66 6
1979	0 0	0 0	30 7	5 2	47 8	3 6	3 7	3 3	2 0	1 2	0 4	0 0	98 0
1980	0 0	116 5	27 4	4 4	4 6	4 0	2 9	1 7	0 8	0 4	0 0	0 0	162 7
1981	0 0	0 0	40 7	8 4	2 5	2 4	1 7	0 8	0 4	0 0	0 0	0 0	56 9
MÉDIA	1 3	8 4	36 2	78.3	47 7	13 2	8 6	4.0	2.4	1.3	0 5	0 2	202.0

Os quadros 4 1 e 4 2 mostram os resultados da simulação do modelo MODHACX, com as lâminas expressas em milímetros

Na figura 4 3 encontra-se o hidrograma médio mensal para o período de simulação compreendido entre 1921 e 1981

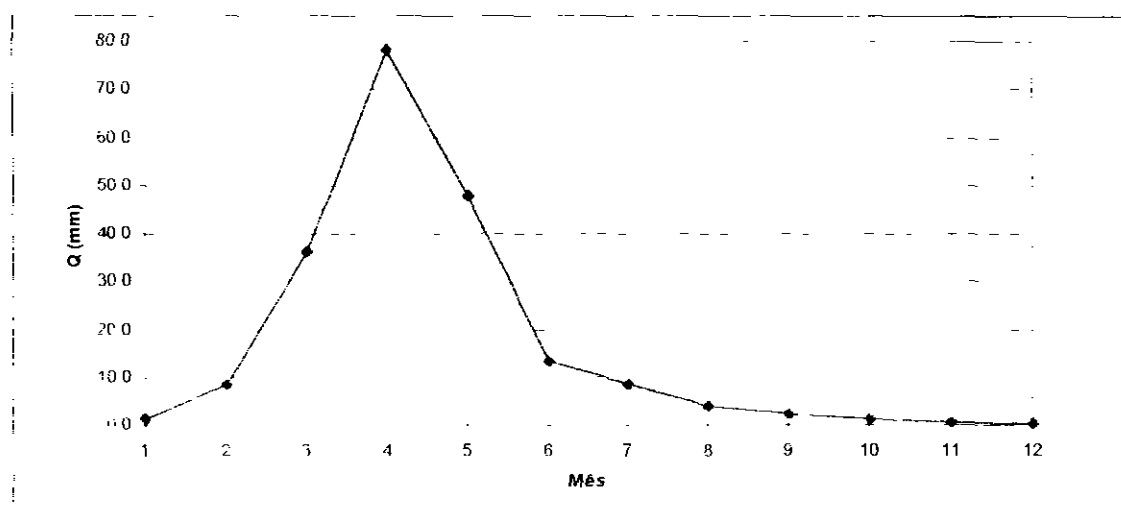


Figura 3.3 - Hidrograma Médio Mensal das Vazões Geradas pelo MODHAC

5 - ESTUDO DAS CHEIAS DE PROJETO

5 - ESTUDO DAS CHEIAS DE PROJETO

A determinação da cheia de projeto para dimensionamento do sangradouro pode ser realizada com base em dados históricos de vazão (métodos diretos) e com base na precipitação (métodos indiretos), estando em ambos os casos associados a um risco previamente escolhido. Diante da escassez de registros históricos de vazões, é mais usual a determinação do hidrograma de projeto com base na precipitação.

O estudo da cheia de projeto é de fundamental importância para a segurança e economia da barragem, podendo o hidrograma de projeto estar baseado em:

- PMP (precipitação máxima provável) para projetos de importantes obras hidráulicas,
- cheia padrão para obras hidráulicas de risco intermediário,
- precipitações associadas a um risco ou probabilidade de ocorrência

Em barragem pequenas e médias, onde grandes riscos não estão envolvidos, pode-se utilizar o hidrograma de projeto baseado no último caso, podendo o período de retorno de 1000 anos ser suficiente.

5.1 - METODOLOGIA

Os métodos estatísticos de obtenção de vazões máximas que se utilizam séries históricas de vazões observadas, procedimento comum para bacias naturais, não podem ser aplicados pela escassez de dados ou, ainda, sua inexistência. A inexistência de dados sobre os eventos na bacia a ser estudada indicou a escolha de métodos de transformação chuva-deflúvio como metodologia a ser adotada.

A metodologia procura descrever as diversas hipóteses de cálculo da cheia de projeto a escolha da chuva de projeto, o hidrograma utilizado, a definição da precipitação efetiva, o hidrograma da cheia na bacia e, por fim, o seu amortecimento no sangradouro. A ferramenta utilizada para a implementação desta metodologia foi o programa HEC-1⁶.

⁶US ARMY CORPS OF ENGINEERS - HYDROLOGIC ENGINEERING CENTER, 1990. HEC-1 FLOOD HYDROGRAPH PACKAGE - USERS MANUAL, 415 p.

As relações chuva-deflúvio para a bacia do Açude Catu foram estabelecidas utilizando-se o modelo HEC-1, um modelo projetado para simular o escoamento superficial em uma bacia, sendo esta representada como um sistema de componentes hidrológicos e hidráulicos. Para esta bacia, foi estudada a sua resposta ao hidrograma de projeto correspondentes a 1000 anos (T_r = tempo de retorno)

O modelo HEC-1 permite o uso de várias metodologias para determinação da chuva efetiva, simulação do escoamento superficial em bacia (*overland flow*) e propagação do escoamento em canais e reservatórios. No caso da bacia do riacho catu no boqueirão Cinzenta, diante dos dados disponíveis, foi adotado o seguinte:

- 1 Método Curva-Número (*Soil Conservation Service*) na determinação da chuva efetiva,
- 2 Método do *Soil Conservation Service* na determinação do hidrograma unitário sintético - Escoamento Superficial na bacia (*Overland flow*),
- 3 Método de Puls para propagação do escoamento em reservatórios

5.1.1 - Solos e uso atual da terra

As classes de solos encontradas na área estuda, classificadas segundo os critérios do Serviço Nacional de Levantamento e Conservação de Solos da EMBRAPA, são descritas a seguir:

LVd – ASSOCIAÇÃO DE LATOSSOLO VERMELHO AMARELO + AREIAS QUARTZOSAS, distróficos, com A fraco, textura arenosa e média, fase caatinga hipoxerófila relevo plano e suave ondulado

Principais inclusões

- PLANOSOLO SOLÓDICO textura arenosa/média e argilosa relevo plano,
- PODZÓLICO ACINZENTADO DISTRÓFICO AMARELO abrúptico plíntico textura arenosa/média e argilosa relevo plano e suave ondulado
- SOLONOTZ SOLODIZADO textura arenosa/média e argilosa relevo plano,
- SOLOS ALUVIAIS INDISCRIMINADOS relevo plano

Na área existem vários sítios e chácaras onde é comum a formação de pequenos pomares com as culturas de limão, graviola, banana, manga, etc

Outra parte da área é ocupada com a cultura do caju. É comum o cultivo da cultura da mandioca

5.1.2 - Geologia

Correlacionando-se as observações de campo com os dados bibliográficos consultados, conclui-se que a totalidade da bacia hidrográfica se desenvolve sobre sedimentos areno-argilosos do Grupo Barreiras, cuja cronologia é considerada do final do Terciário e início do Quaternário

Litologicamente caracteriza-se por um banco relativamente espesso de sedimentos areníticos, esbranquiçados e amarelados, pouco litificados, com estratificação indistinta e níveis conglomeráticos de matiz areno-argilosa caulinítica, com uma cobertura arenosa inconsolidada, de granulação fina

5.1.3 - Vegetação

As observações de campo e a revisão bibliográfica existente sobre o assunto permite descrever a cobertura vegetal predominante como caatinga de várzea. A formação vegetal consiste da caatinga hipoxerófila, essencialmente arbustiva e arbórea baixa, com grau de xerofitismo pouco acentuado e com pouca ocorrência de cactáceas

As espécies mais comumente encontradas na área são

- Catanduva Lityrocarpa Benth
- Mofumbo Cobretum leprosum
- Marmeleiro Croton sp
- Ameixa Ximenia sp

5.1.4 - Precipitação

Para cálculo do escoamento superficial para a bacia do Riacho catu na seção, foi assumido uma precipitação uniformemente distribuída sobre a referida bacia. O HEC-1 permite a entrada de tormentas históricas ou sintéticas, sendo as últimas frequentemente utilizadas para planejamento e estudos de projetos

A equação de chuva desenvolvida para Fortaleza apresenta valores superiores aos do método Tarboga Torrico, cuja única vantagem é a de utilizar dados provenientes de pluviômetros do local, conduzindo, através do empirismo deste último, à uma “sensação de certeza” que pode ser equivocada. Assim, optou-se por utilizar a equação de Fortaleza, considerando-se a proximidade e a derivação da equação utilizando dados de registros pluviográficos. Além disso, a adoção de um valor mais conservador para a chuva de projeto se traduz, ao final, numa maior segurança para o empreendimento.

O hietograma adotado baseia-se nas curvas altura-duração-frequência de Fortaleza incluídas nos estudos hidroclimatológicos. O Quadro 5.1 apresenta a chuva de projeto associada ao tempo de retorno de 1000 anos sem aplicar o fator redutor de área.

Quadro 5.3 - Chuva Pontual (mm)

Duração	5'	15'	1h	2h	3h	6h	12h	24h
Tr = 1 000 anos								
P (mm)	27,7	55,6	109,3	146,4	189,6	234,3	275,2	313,6
Tr = 10 000 anos								
P (mm)	44,2	78,1	153,7	205,8	296,3	366,2	430,1	490,2

O hietograma de projeto tem uma duração igual ao tempo de concentração da bacia, estimado aqui pela fórmula do California Highways, também conhecida como fórmula de Kirsch:

$$T_C = 57 \left(\frac{L^3}{\Delta H} \right)^{0.385}$$

onde T_C = tempo de concentração em minutos; L = comprimento do maior talvegue em km, ΔH = diferença de elevação entre o ponto mais remoto da bacia e o exutório. Logo, para a bacia do Riacho Catu na seção tem-se:

Boqueirão $L = 15,3 \text{ km}$

$$\Delta H = 20,0 \text{ m}$$

$$\text{o que resulta } TC = 7,0 \text{ h, TLAG} = 4,2 \text{ h}$$

Estes dados são necessários para construir uma distribuição triangular da precipitação, onde é assumido que cada total precipitado para qualquer duração ocorre durante a parte central da tormenta (tormenta balanceada)

5.1.5 - Precipitação Efetiva

O modelo HEC-1 refere-se a interceptação superficial, armazenamento em depressões e infiltração como perdas de precipitação, ou seja, a parcela da precipitação que não contribui para gerar escoamento é considerada perda, sendo o restante, considerado precipitação efetiva

O cálculo das perdas de precipitação podem ser usadas nos outros componentes do modelo HEC-1, em especial, hidrograma unitário. No caso do hidrograma unitário, estas perdas são consideradas uniformemente distribuídas sobre a bacia (ou sub-bacia)

De maneira geral, existem três metodologias utilizadas para determinação da chuva efetiva equações de infiltração, índices e relações funcionais. Especificamente, o HEC-1 possibilita o uso de 5 métodos: 1) taxa de perda inicial e uniforme, 2) taxa de perda exponencial, 3) Curva-Número, 4) Holtan, 5) Função de Infiltração Green e Ampt. Foi considerado mais adequado, diante dos dados disponíveis, o método curva número do Soil Conservation Service.

O método Curva Número é um procedimento desenvolvido pelo Serviço de Conservação do Solo USDA, no qual a lâmina escoada (isto é, a altura de chuva efetiva) é uma função da altura total de chuva e um parâmetro de abstração denominado Curva-Número, CN. Este coeficiente varia de 1 a 100, sendo uma função das seguintes propriedades geradoras de escoamento na bacia: (1) tipo de solo hidrológico, (2) uso do solo e tratamento, (3) condição da superfície subterrânea, e (4) condição de umidade antecedente.

A equação de escoamento do SCS é dada por

$$Q = \frac{(P - I_a)^2}{(P - I_a) + S} \quad (1)$$

onde Q = escoamento

P = precipitação

S = capacidade máxima de armazenamento do solo

I_a = perdas antes do início do escoamento

As perdas antes do início do escoamento (I_a) incluem água retida em depressões superficiais, água interceptada pela vegetação, evaporação, e infiltração. I_a é altamente variado, mas a partir de dados de pequenas bacias I_a é aproximado pela seguinte relação empírica

$$I_a = 0,20 S \quad (2)$$

Substituindo (2) em (1) elimina-se I_a , resultando em

$$Q = \frac{(P - 0,20 S)^2}{P - 0,80 S}$$

onde S está relacionado às condições de solo e cobertura através do parâmetro CN por

$$S = \frac{25400}{CN} - 254 \text{ (unidades métricas)}$$

onde CN varia de 0 a 100. CN foi tabelado para diferentes tipos de solos e cobertura, sendo estes valores tabelados apresentados para condições de umidade antecedente normal (AMC II). Para condições secas (AMC I) e úmidas (AMC III), CNs equivalentes podem ser calculados pelas seguintes fórmulas

CONDIÇÕES SECAS

$$CN(I) = \frac{4,2 CN(II)}{10 - 0,058 CN(II)}$$

CONDIÇÕES ÚMIDAS

$$CN(III) = \frac{2,3 CN(II)}{10 + 0,13 CN(II)}$$

Alternativamente, os CNs para estas condições podem ser obtidos, a partir da condição normal (AMC II), utilizando-se tabelas⁷

Como já mencionado, o CN foi tabelado para diferentes tipos de solos, os quais foram classificados pelo SCS em quatro grupos de solos hidrológicos (A, B, C e D) de acordo com sua taxa de infiltração. Estes quatro grupos são descritos a seguir:

- A - solos que produzem baixo escoamento superficial e alta infiltração solos arenosos profundos com pouco silt e argila
- B - solos menos permeáveis que o anterior, solos arenosos menos profundo que o do tipo A e com permeabilidade superior à média
- C - solos que geram escoamento superficial acima da média e com capacidade de infiltração abaixo da média, contendo percentagem considerável de argila e pouco profundo
- D - solos contendo argilas expansivas e pouco profundos com muito baixa capacidade de infiltração, gerando a maior proporção de escoamento superficial

Desde que o método do SCS dá o excesso total para uma tormenta, o excesso incremental de precipitação para um período de tempo é calculado como a diferença entre o excesso acumulado no fim do presente período e o acumulado do período anterior.

A chuva de projeto associada ao tempo de retorno de 1000 anos foi aquela correspondente a uma duração igual ao tempo de concentração. Obteve-se a partir das curvas altura-duração-frequência de Fortaleza os totais precipitados aos intervalos $1/6 \cdot tc$. A partir desta série de precipitação acumulada calcula-se a precipitação efetiva utilizando-se o método curva número. Depois de obtida a precipitação efetiva, procede-se uma reordenação dos valores precipitados de modo a manter o pico no terceiro quartil (Quadro 5.4 e Quadro 5.5).

Quadro 5 4 - Cálculo do Hietograma de Projeto para a bacia contribuinte do reservatório Catu
usando o Hidrograma Triangular ($T_r = 1000$ anos) **CN = 65**

DT (h)	Pacum (mm)	S (mm)	Pef Ac (mm)	Pef (mm)	Pef Ord (mm)	DPeF (mm)	Qp	Tp	Tb	Q pico (m³/s)
1 17	106 38	136 77	28 94	28 94	8 34	10 33	28 97	4 78	12 77	256.42
2 33	157 02		63 11	34 17	10 33	18 90	53 00	5 95	12 77	
3 50	181 92		82 01	18 90	13 46	34 17	95 83	7 12	12 77	
4 67	198 92		95 46	13 46	18 90	28 94	81 15	8 28	12 77	
5 83	211 66		105 80	10 33	28 94	13 46	37 74	9 45	12 77	
7 00	221 78		114 14	8 34	34 17	8 34	23 39	10 62	12 77	

DT - tempo

S - Armazenamento

Pacum - Precipitação Acumulada

Pef Ac - Precipitação Efetiva Acumulada

Pef - Precipitação Efetiva

Pef Ord - Precipitação Efetiva Ordenada

Dpef - PefOrd Desagregada

Qp - Vazão de pico de cada hidrograma

Tp - Tempo de pico de cada hidrograma

Tb - Tempo de base de cada hidrograma

Qpico - Vazão de pico do hidrograma total (apos convolução)

Quadro 5 5 - Calculo do Hietograma de Projeto para a bacia contribuinte do reservatório Catu
usando o Hidrograma Triangular ($T_r = 10000$ anos) **CN = 65**

DT (h)	Pacum (mm)	S (mm)	Pef Ac (mm)	Pef (mm)	Pef Ord (mm)	DPeF (mm)	Qp (h)	Tp (h)	Tb (h)	Q pico (m³/s)
1 17	149 57	136 77	57 67	57 67	14 35	17 90	50 20	4 78	12 77	509.03
2 33	245 45		134 04	76 37	17 90	33 71	94 54	5 95	12 77	
3 50	284 37		167 75	33 71	23 57	76 37	214 16	7 12	12 77	
4 67	310 94		191 32	23 57	33 71	57 67	161 74	8 28	12 77	
5 83	330 85		209 22	17 90	57 67	23 57	66 09	9 45	12 77	
7 00	346 67		223 56	14 35	76 37	14 35	40 23	10 62	12 77	

DT - tempo

S - Armazenamento

Pacum - Precipitação Acumulada

Pef Ac - Precipitação Efetiva Acumulada

Pef - Precipitação Efetiva

Pef Ord - Precipitação Efetiva Ordenada

Dpef - PefOrd Desagregada

Qp - Vazão de pico de cada hidrograma

Tp - Tempo de pico de cada hidrograma

Tb - Tempo de base de cada hidrograma

Qpico - Vazão de pico do hidrograma total (apos convolução)

A bacia do Catu foi sobreposta ao mapa de zonas de permeabilidade do Plano Estadual de Recursos Hídricos onde verificou-se que a bacia tem um solo do tipo A, com baixo potencial de escoamento. A cobertura vegetal é formada de caatinga arbustiva hipoxerófila com uso de solo para agricultura rudimentar.

Para a bacia do riacho Catu foi estimado um CN com base nos tipos e usos dos solos, sendo adotado um CN = 65 (AMC II)

5.1.6 - Hidrograma Unitário

A técnica do hidrograma unitário é usada para transformar a precipitação efetiva em escoamento superficial de uma sub-bacia. Este método foi escolhido por ter sido idealizado para bacias de áreas entre 2,5 e 1000 km², e por ser construído exclusivamente a partir de informações hidrológicas. Além disto, este modelo necessita apenas de um parâmetro o TLAG. Este parâmetro, TLAG, é igual à distância (lag) entre o centro de massa do excesso de chuva e o pico do hidrograma unitário. A vazão de pico e o tempo de pico são calculados por:

$$Q_p = 208 \frac{A}{t_p} \quad t_p = \frac{\Delta t}{2} + t_{LAG}$$

onde Q_p= é a vazão de pico (m³/s), t_p= tempo de pico do hidrograma (h), A = área da bacia em km² e Δt = o intervalo de cálculo em horas ($\Delta t = t_c/6$)

5.2 - RESULTADOS

A adoção de cheias de projeto da magnitude da cheia máxima provável não se justifica para o reservatório em estudo, por sua localização, capacidade e finalidades. Assim, dentro desta perspectiva, optou-se por utilizar a cheia associada ao hietograma de 1 000 anos e verificar posteriormente para o hietograma de 10 000 anos.

Então, já podemos traçar o Hidrograma Unitário Triangular (Figura 5.2 abaixo) correspondente a cada intervalo de chuva efetiva e a partir deste fez-se a convolução obtendo-se assim, o hidrograma total. Após a convolução dos seis hidrogramas, obteve-se uma vazão de pico igual a 256,42 m³/s.

Para a bacia contribuinte ao reservatório Catu, que possui um tempo de concentração $t_c = 7,0$ horas, resultou $t_b = 18,67$ horas, $\Delta t = 1,17$ horas, $t_p = 8,17$ horas e $q_p = 28,04 \text{ m}^3/\text{s/cm}$. A velocidade média do escoamento superficial difuso (overland flow) foi estimada em $v = 0,001 \text{ m/s}$ e pode ser verificada como o comprimento médio de fluxo ($L=1,05\text{km}$) dividido pelo tempo de retardo do escoamento superficial. Para a velocidade média total, com base no tempo de concentração e no percurso da água desde as vertentes até o exutório da bacia, estimou-se uma velocidade média de $0,607\text{m/s}$.

Os hidrogramas afluentes para os tempos de retorno 1 000 e 10 000 anos encontram-se apresentados nas figuras 5.2 e 5.3. O pico do hidrograma afluente ao açude Catu associado aos tempos de retorno 1 000 e 10 000 anos foram respectivamente de $256,42 \text{ m}^3/\text{s}$ e $509,03\text{m}^3/\text{s}$.

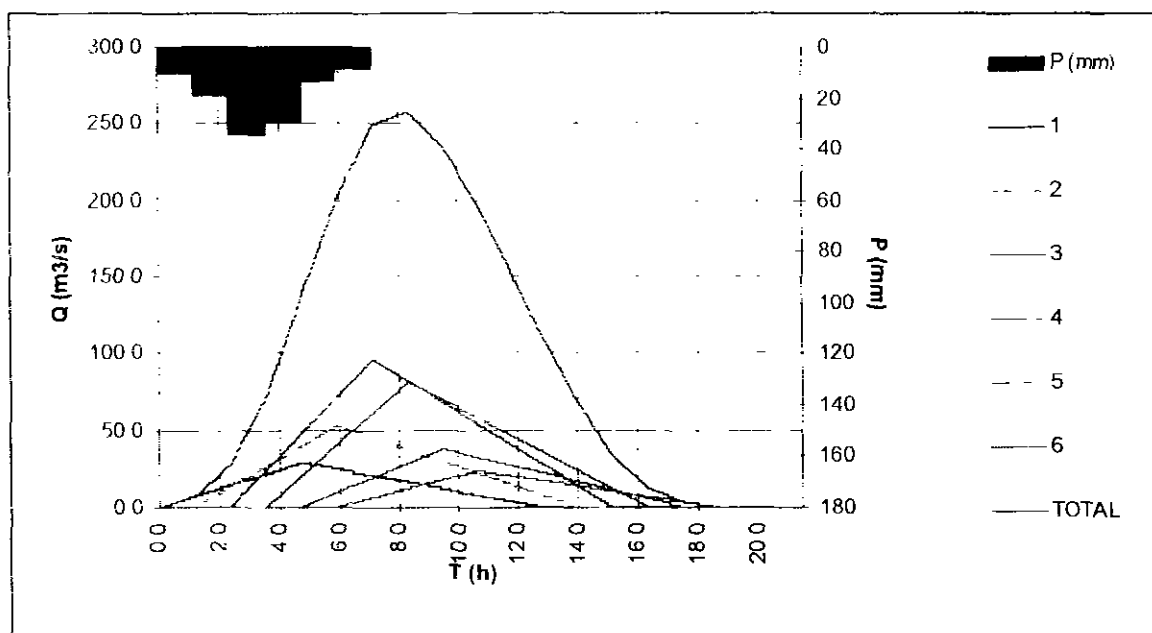


Figura 5.2 - Hidrograma total afluente - Bacia do riacho Catu em Cíntzenta $A=64,5 \text{ km}^2$
 $(Tr = 1000 \text{ anos})$

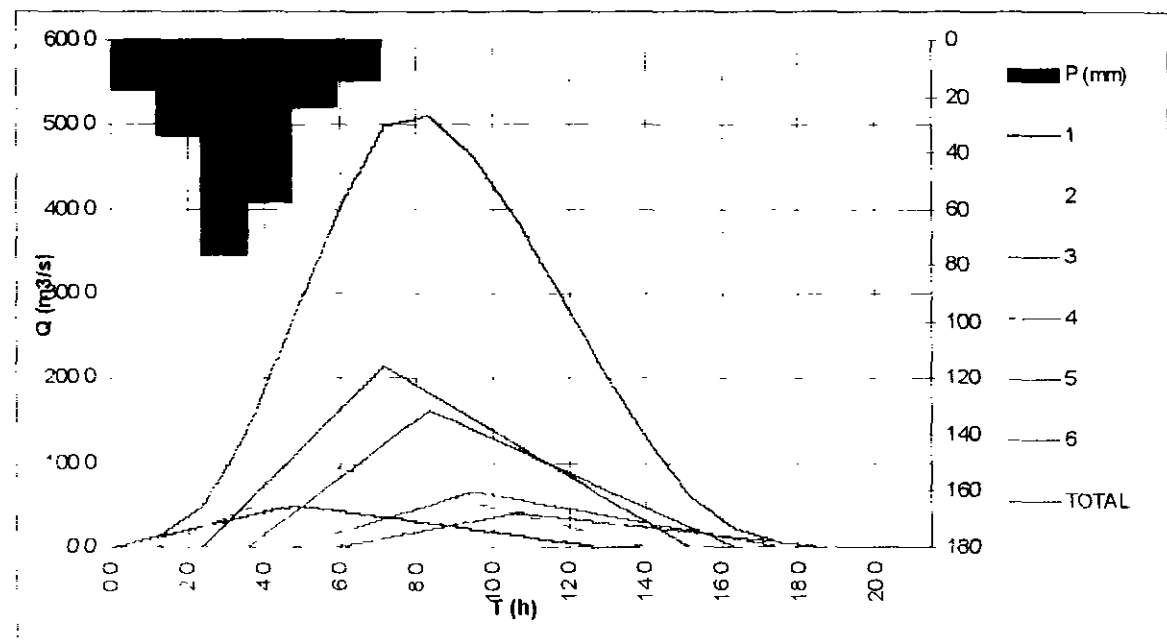


Figura 5.3 - Hidrograma total afluente - Bacia do Riacho Catu em Cíntzenta $A = 64,5$ km 2 ($T_r = 10000$ anos)

6 - DIMENSIONAMENTO DO RESERVATÓRIO

6 - DIMENSIONAMENTO DO RESERVATÓRIO

6 1 - INTRODUÇÃO

A importância do estudo da capacidade de regularização de um reservatório está ligada ao conhecimento das mudanças temporais e espaciais dos deflúvios naturais, visando o atendimento das demandas da sociedade. Busca-se aqui avaliar o tamanho que deve ser a obra de maneira que ganhos em regularização de águas justifique os investimentos a serem realizados.

Hidrologicamente, os objetivos centrais deste capítulo são

1 - análise incremental do ganho em volume regularizado em relação ao aumento da capacidade para a Barragem Catu,

2 - estimativa das perdas por evaporação e sangria da Barragem Catu

O traçado das curvas de regulação, inclui volumes evaporado (E), liberado (M) e sangrado (S) versus capacidade (K) e dM/dK versus K

6 2 - METODOLOGIA

Na determinação das curvas de regulação do reservatório foi utilizado o método da solução direta do balanço hídrico, sendo também utilizados os métodos abaixo para comparação dos valores obtidos da capacidade de regularização do reservatório

- Diagrama Triangular de Regularização⁸,
- Simulação da Operação do Reservatório utilizando-se como Série Afluente aquela gerada pelo MODHAC - Programa Opera (Plano Estadual de Recursos Hídricos - Ceará)

⁸ CAMPOS, J.N.B. 1990, REGULARIZAÇÃO DE VAZÕES EM RIOS INTERMITENTES TESE PARA CONCURSO DE PROFESSOR TITULAR. UFC

6.2.1 - Solução Direta da Equação do Balanço Hídrico

A equação do balanço hídrico de um reservatório pode ser dada por

$$Z_{t+1} = Z_t + I_t - \frac{A_{t+1} + A_t}{2} E - M - S_t$$

com

$$S_t = \max(B - K, 0)$$

$$B = Z_t + I_t - \frac{A_{t+1} + A_t}{2} E - M$$

onde

Z_t = volume armazenado no início do ano t,

I_t = volume afluente ao reservatório durante o ano t,

A_t = área do espelho d'água no início do ano t,

E = lâmina evaporada durante o ano t, suposta constante ao longo dos anos,

K = capacidade do reservatório,

S_t = volume perdido por sangria durante o ano t

Representando-se a bacia hidrográfica por

$$Z(h) = a \cdot h^3 \quad \text{e} \quad A(h) = 3a \cdot h^2,$$

h - altura d'água a - fator de forma (obtido por regressão entre z e h³)

supondo um modelo mutuamente exclusivo com volume contínuo e uma série de vazões afluentes com uma extensão de 2000 anos segundo uma distribuição Gamma de 2 parâmetros, pode-se resolver a equação de balanço hídrico segundo o processo descrito por CAMPOS (1990)⁹, a saber

1 estabelece-se um valor inicial para a retirada M;

2 considera-se um volume inicial igual $\text{MIN}(0,5 K, 0,5 m)$,

3 Calcula-se

$$ZU = Zt + It \quad \text{p/ } Zt + It \leq K$$

$$ZU = K \quad \text{caso contrário}$$

$$DS = \text{MAX}(Zt + It - K, 0)$$

onde ZU é o volume armazenado no final da estação e DS o volume sangrado no ano t

4 Calcula-se o volume no fim da estação seca (início do próximo ano) por

a) divide-se M e E em L partes (no caso L=6),

b) retirada da reserva, se disponível, de M/L

ATUALIZAÇÃO DO VOLUME ARMAZENADO

$$Z_2 = Z_1 - M/L \quad \text{se } Z_1 - M/L > Z_{min}$$

$$Z_2 = Z_{min} \quad \text{caso contrário (**ANO FALHO**)}$$

$$Z_{min} = \text{MAX}(0,05 K, 0,20 \mu)$$

VOLUME UTILIZADO

$$D_{st} = Z_1 - Z_2$$

ATUALIZAÇÃO DO NÍVEL DO RESERVATÓRIO

$$h_2 = \left(\frac{Z_2}{\alpha} \right)^{1/3}$$

c) retirada da reserva, se disponível, de E/L

CAMPOS, J.N.B. 1990, REGULARIZAÇÃO DE VAZÕES EM RIOS INTERMITENTES TESE PARA CONCURSO DE PROF TITULAR UFC

ATUALIZAÇÃO DO NÍVEL DO RESERVATÓRIO

$$h_3 = h_2 - E / L \quad \text{se } h_2 - E / L \geq 0$$

$$h_3 = 0 \quad \text{caso contrário}$$

ATUALIZAÇÃO DO VOLUME ARMAZENADO

$$Z_3 = \alpha \cdot h_3^3$$

VOLUME UTILIZADO

$$D_E = Z_3 - Z_2$$

- d) retorna-se a b) até completar as L fases da integração
- 5 Prossegue-se com os passos 3 e 4 até que se complete os 2000 anos da série gerada, totalizando os volumes evaporado, sangrado e liberado,
- 6 Concluído os 2000 anos, verifica-se se a frequência de falha está entre 9,95 e 10,05 %, ou se o erro em retirada é menor do que 0,5 unidades. Caso afirmativo aceita-se o valor de M, caso contrário atribui-se novo valor de M e retorna-se a 1

6.2.2 - O Diagrama Triangular de Regularização

O método do Diagrama Triangular baseia-se no balanço de massas de um reservatório para um período longo

$$\sum I = \sum M + \sum S + \sum E + Z$$

onde $\sum I$, $\sum M$, $\sum S$, $\sum E$ representam as somas dos volumes afluente, retirado, sangrado e evaporado, enquanto Z representa a diferença entre os volumes final e inicial do reservatório. Dividindo-se a equação de balanço de massas acima por N, N suficientemente grande, obtém-se

$$m = E \{M\} + E \{S\} + E \{E\}$$

onde $E\{\cdot\}$ representa é o operador valor esperado e m o deflúvio afluente médio. Pela última equação verifica-se que o volume afluente divide-se em três componentes, o que sugere o uso do Diagrama Triangular para estabelecer como esta divisão se processa em função dos parâmetros estatísticos dos deflúvios e das características do reservatório (CAMPOS, 1990)¹⁰

6.2.3 - Simulação com a Série Afluente do MODHAC - Programa Opera

Devido a ocorrência de falhas em longos períodos de liberações de vazão, no PERH-CE (Plano Estadual de Recursos Hídricos - Ceará) estabeleceu-se o conceito de volume de alerta. Assim, na operação do reservatório, retira-se uma vazão Q_{90A} (vazão regularizada com 90% de garantia sem volume de alerta) constante enquanto o volume do reservatório estiver acima deste volume de alerta. Ao atingir o volume de alerta, retira-se uma vazão $Q_{emerg} < Q_{90A}$ (vazão regularizada com 90% de garantia com volume de alerta) - a demanda de emergência, capaz de garantir o fornecimento em grande parcela dos períodos considerados como secos. A representação destes volumes encontra-se esquematicamente representada na Figura 6.1 abaixo.

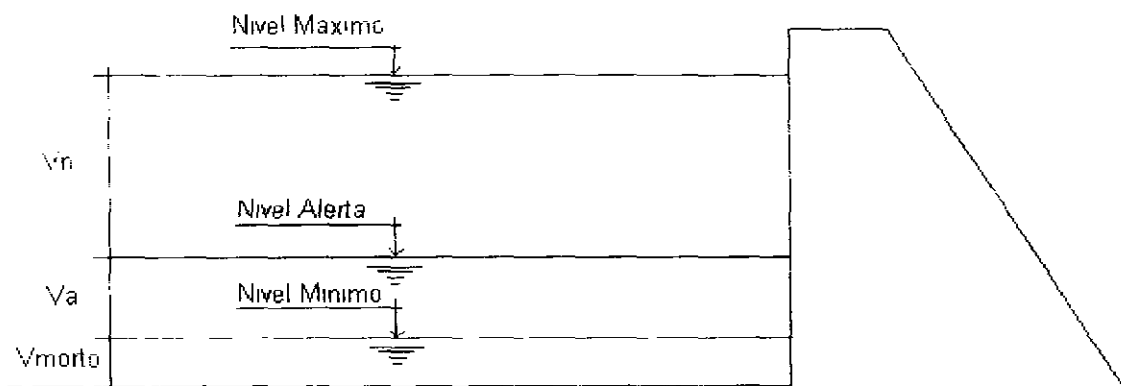


Figura 6.1 - Representação Esquemática dos Níveis Operacionais

Ainda segundo o PERH-CE, adotou-se que o fornecimento desta vazão de emergência se dá em 80% do total do período crítico. Foi simulada a operação do reservatório com uma demanda de emergência igual a 50% de Q_{90A} .

¹⁰ CAMPOS, J.N.B. 1990, REGULARIZAÇÃO DE VAZÕES EM RIOS INTERMITENTES. TESE

6.3 - RESULTADOS

Como mencionado no capítulo 4 deste relatório, foi realizada novamente a calibração do modelo MODHAC utilizando a estação Bau e, após isto, a geração da série de vazões afluentes ao reservatório Catu. As características da série gerada são as seguintes:

- lâmina média escoada 202 mm
- volume afluente médio escoado (μ) 13,025 hm^3
- coeficiente de variação (CV) 0,90
- coeficiente de defluvio 18,3%

No caso da *Solução Direta da Equação do Balanço Hídrico*, as características do regime fluviométrico acima foram utilizadas para a geração da série afluente ao reservatório. Para aplicação deste método faz-se necessário a determinação do fator de forma α , lâmina evaporada E e fator adimensional de evaporação f_E e o fator de capacidade f_k . O fator adimensional de capacidade é variável, uma vez que pretende-se analisar o ganho na regularização em função do aumento da capacidade. Assim,

$$\alpha = 12042,9$$

$$E = 822,8 \text{ mm}$$

$$f_E = \frac{3\alpha^{1/3} E}{\mu^{1/3}}$$

$$f_E = 0,240$$

Com base nestes valores utilizou-se a solução direta da equação do balanço hídrico para o estudo incremental de capacidades do açude Catu. No Quadro 6.1 apresenta-se o percentual e seu valor correspondente dos volumes regularizados, evaporados e sangrados em função de f_k , assim como a vazão regularizada com 90%.

de garantia. A figura 6.2 apresenta a curva de regulação para o reservatório, que nada mais é que a representação gráfica dos valores apresentados no Quadro 6.1. O Quadro 6.1 mostra que para a cota 46,00 tem-se uma vazão de 0,226 m³/s com 90% de garantia.

Quadro 6.1 - Estudo incremental de capacidades do açude Catu com 90% de Garantia (CAMPOS, 1990)¹¹

Cota (m)	K (hm ³)	f _k =K/ μ	%LIB	LIB (hm ³ /ano)	%EV	EV (hm ³ /ano)	%SG	SG (hm ³ /ano)	dM/dK	Q90 (m ³ /s)
38,0	3 470	0,27	13,40%	1 773	6,10%	0 806	80,50%	10 632	-----	0,059
39,0	5 163	0,40	17,30%	2 28	8,40%	1 113	74,30%	9 814	0,299	0,076
40,0	7 293	0,56	22,00%	2 91	10,80%	1 429	67,10%	8 865	0,296	0,097
41,0	9 932	0,76	27,40%	3 621	13,40%	1 766	59,20%	7 814	0,269	0,120
42,0	13 206	1,01	34,00%	4 492	16,00%	2 105	50,00%	6 602	0,266	0,150
43,0	17 168	1,32	39,40%	5 198	18,90%	2 493	41,70%	5 508	0,178	0,174
44,0	21 810	1,67	43,90%	5 793	22,00%	2 899	34,10%	4 505	0,128	0,194
44,5	24 395	1,87	46,50%	6 132	23,40%	3 083	30,20%	3 985	0,131	0,206
45,0	27 131	2,08	48,00%	6 337	25,00%	3 295	27,00%	3 568	0,075	0,213
45,5	30 072	2,31	49,50%	6 531	26,60%	3 505	24,00%	3 165	0,066	0,219
46,0	33 164	2,55	51,00%	6 731	28,10%	3 706	20,90%	2 765	0,065	0,226

LIB - VOLUME LIBERADO

SG - VOLUME SANGRADO

EV - VOLUME EVAPORADO

¹¹ CAMPOS, J N B 1990, REGULARIZAÇÃO DE VAZÕES EM RIOS INTERMITENTES. TESE PARA CONCURSO DE PROF. TITULAR. UFC.

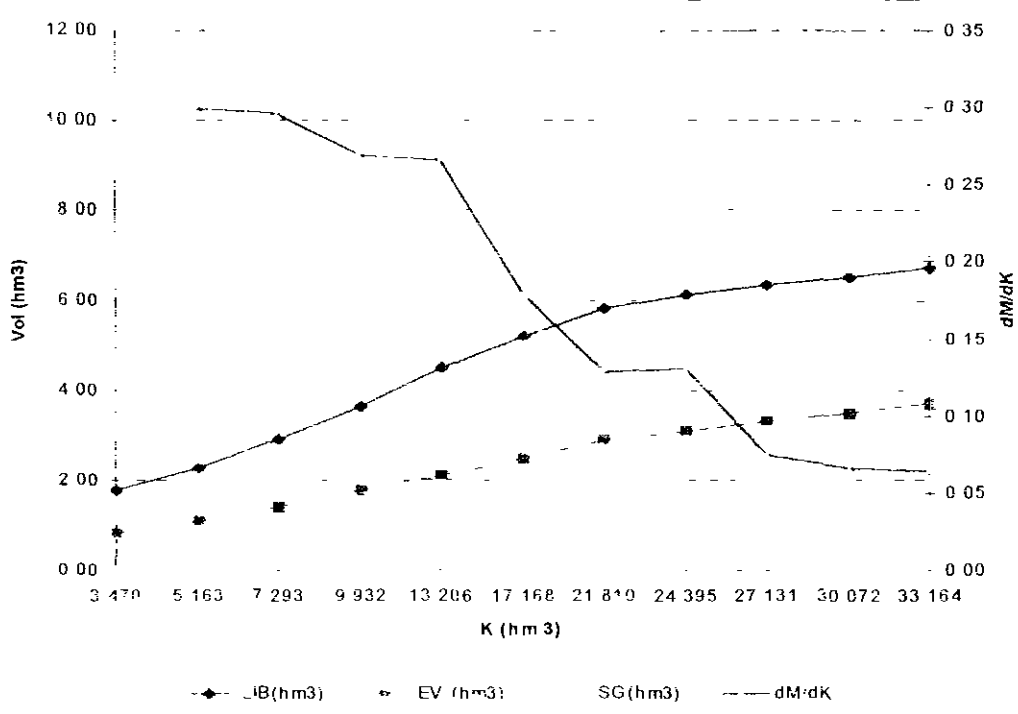


Figura 6.2 - Curvas de Regulação do Reservatório Catu

Utilizando-se o método do Diagrama Triangular de Regularização com $f_L = 0,240$, $f_K = 2,55$ e $CV = 0,90$, obtém-se um volume de $6,900 \text{ hm}^3$ regularizado anualmente, ou em termos de vazão, $Q_{90} = 0,220 \text{ m}^3/\text{s}$. Este valor está bem próximo ao valor obtido pela solução direta da equação do balanço hídrico (Quadro 6.1). A Figura 6.3 apresenta o Diagrama Triangular ($CV = 0,90$) e nele o caso da Barragem Catu.

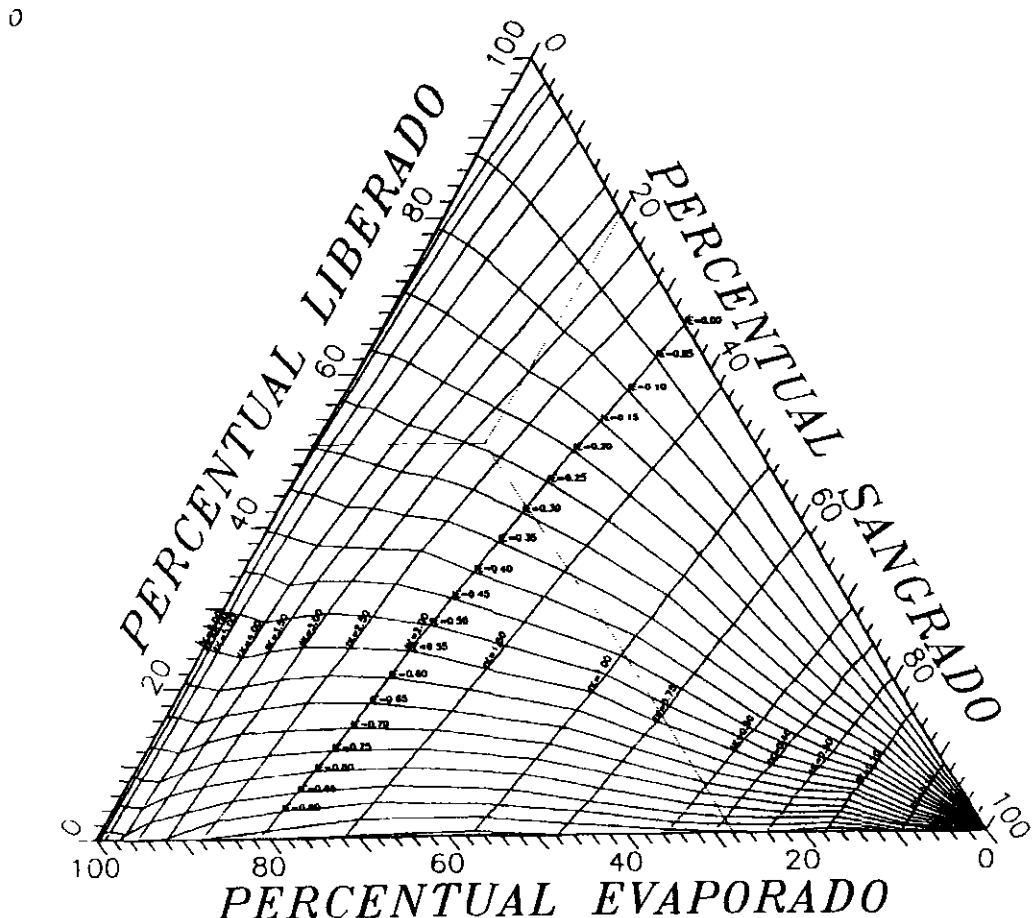


Figura 6 3 - Diagrama Triangular de Regularização para CV = 0,90 Açu de Catu

Alternativamente aos dois métodos acima, foi utilizada a série gerada pelo MODHAC para obtenção da vazão regularizada com 90% de garantia a partir do uso do programa opera, conforme regra operacional anteriormente definida, para várias alternativas. Foram estudados, para vários valores de cota máxima, as vazões regularizadas com volume de alerta. Os resultados destas simulações estão sumarizados nos Quadros 6 2 a 6 4 abaixo, onde

Q_{90}^A - Vazão com 90% de Garantia associada a um Volume de Alerta que atende em 80% do tempo de falha a uma Demanda de Emergência igual à 50% de $Q_{90}A$

Quadro 6.2 - Alternativas para a barragem Catu segundo a regra de operação do PERH-CE

COTA (m)	VOL. MAX. (hm ³)	VOL UTIL (hm ³)	VOL. ALERTA (hm ³)	Q90 ^A (m ³ /s)
43,0	17 168	14 563	5 154	0 205
44,0	21 810	19 205	5 486	0 232
44,5	24 395	21 790	5 873	0 250
45,0	27 131	24 526	6 284	0 252
45,5	30 072	27 467	6 382	0 270
46,0	33 164	30 559	6 425	0 289

Apesar de não estar disponível ainda o custo total das várias alternativas de barragem estudadas, deve-se enfatizar que a decisão final sobre a alternativa escolhida será baseada em considerações econômicas e hidrológicas. Assim, para cada alternativa de sangradouro e cota máxima correspondente determinar-se-á a melhor opção de largura e seu respectivo custo. Será associada à cada cota um custo total correspondente da obra. A partir dos pares (cotas,custo) determinar-se-á o custo do m³ regularizado anualmente com 90% de garantia.

A interpretação dos dados sobre a eficiência hidrológica do reservatório sugere que, para o maior aproveitamento possível da disponibilidade existente, a cota da soleira do sangradouro fique em 46,00 m. o que corresponde a um volume de 33,164 hm³.

7 - DIMENSIONAMENTO DO SANGRADOURO

7 - DIMENSIONAMENTO DO SANGRADOURO

Uma vez realizado o dimensionamento do reservatório com base nos estudos hidrológicos do capítulo anterior, faz-se necessário agora o dimensionamento do sangradouro visando definição de sua largura, seu tipo e a cota de coroamento da barragem associada a alternativa adotada

No dimensionamento do sangradouro foi adotada a cheia associada ao tempo de retorno de 1 000 anos, calculando-se a laminação correspondente para cada alternativa de sangradouro e, finalmente, determinando-se a cota de coroamento da barragem com base na cheia associada a 10 000 anos a fim de garantir o não galgamento nesta cheia

A partir destes princípios, apresenta-se neste capítulo o dimensionamento do sangradouro

7.1 - PROPAGAÇÃO DA CHEIA NO RESERVATÓRIO

Técnicas de propagação em reservatórios são baseadas no conceito de armazenamento, sendo o método de Puls um dos mais conhecidos para propagação em reservatórios. Este método consiste em uma expressão discretizada da equação de continuidade concentrada e na relação entre vazão e armazenamento

A equação discretizada da continuidade é dada por

$$\frac{S_{t+1} - S_t}{\Delta t} = \frac{I_t + I_{t+1}}{2} - \frac{Q_t + Q_{t+1}}{2} \quad (1)$$

onde I_t e I_{t+1} = vazões afluentes ao reservatório em t e $t+1$, Q_t e Q_{t+1} = vazões de saída ao reservatório em t e $t+1$, S_t e S_{t+1} = armazenamento em t e $t+1$, Δt = intervalo de tempo. As incógnitas Q_{t+1} e S_{t+1} podem ser colocadas em um mesmo lado, resultando em

$$Q_{t+1} + 2 \frac{S_{t+1}}{\Delta t} = I_t + I_{t+1} - Q_t + 2 \frac{S_t}{\Delta t} \quad (2)$$

Conhecendo-se a função $Q=f(S)$, constroi-se uma função $Q=h(Q+2S/Dt)$, resultando no seguinte processo de cálculo

- 1 - determinação do volume inicial S_0 (conforme objetivo do estudo), e a partir deste, determina-se Q_0 ,
- 2 - calcular o termo direito da equação 2, uma vez que o hidrograma de entrada foi determinado pelo método do hidrograma unitário do SCS,
- 3 - com este valor ($Q_{t+1} + 2 S_{t+1}/Dt$) é possível obter Q_{t+1} através de $Q=h(Q+2S/Dt)$ e $S_{t+1} = f-1(Q_{t+1})$,
- 4 - repete-se 2 e 3 para todos intervalos de cálculo

Neste estudo foram consideradas três opções de sangradouro Canal com Perfil Creager, Canal Lateral com Perfil Creager e Sangradouro Tipo Labirinto Em termos de comportamento hidráulico, nos dois casos de perfil Creager adotou-se um coeficiente de descarga igual a 2,18 A equação utilizada para o vertedouro foi

$$Q = C L (Z - Z_w)^{3/2}$$

onde

Z = cota (m),

S = armazenamento (m^3),

Q = vazão (m^3/s),

C = coeficiente de descarga,

L = largura do sangradouro (m),

Z_w = cota da soleira do sangradouro

Os dados geométricos das alternativas para o sangradouro tipo labirinto, cujo esquema é apresentado na figura 7 1 , são mostradas no quadro 7 1

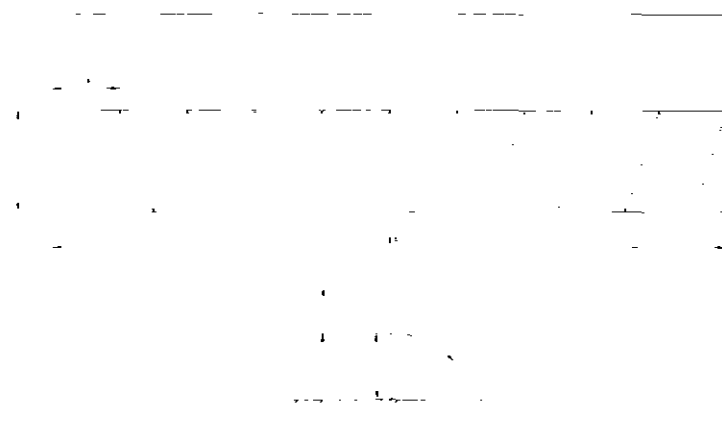


Figura 7 1 - Esquema do sangradouro tipo Labirinto

Quadro 7 1 - Dados Geométricos das alternativas de sangradouro labirinto

A	B	C	W"	w	P	w/p
0 60	19 00	18,62	30 00	10 0	2 50	3 99
0 60	19 00	18,62	40 00	10 0	2 50	3 99
0 60	19 00	18,62	60 00	10 0	2 50	3 99
0 60	19 00	18,62	80 00	10 0	2 50	3 99

A relação Lâmina x Descarga (figura 7 2) do sangradouro labirinto foi aqui obtida segundo a metodologia de MAGALHÃES¹², obedecendo todos os critérios de dimensionamento impostos, ou seja

- relação l/w entre 1 e 8,
- relação h/p menor que 0,6,
- relação w/p maior ou igual a 2,0,
- $\alpha/\alpha_{max} \geq 0,8$, sendo $\alpha_{max} = \arcsen(w/l)$ com $l = 4.A+2.B$

¹² MAGALHÃES, A P , O DESCARREGADOR EM LABIRINTO DA BARRAGEM DO DUNGO RBE – ANAIS SIMPÓSIO IJUSO-BRASILEIRO SOBRE SIMULAÇÃO EM HIDRÁULICA E RECURSOS HIDRÍDICOS

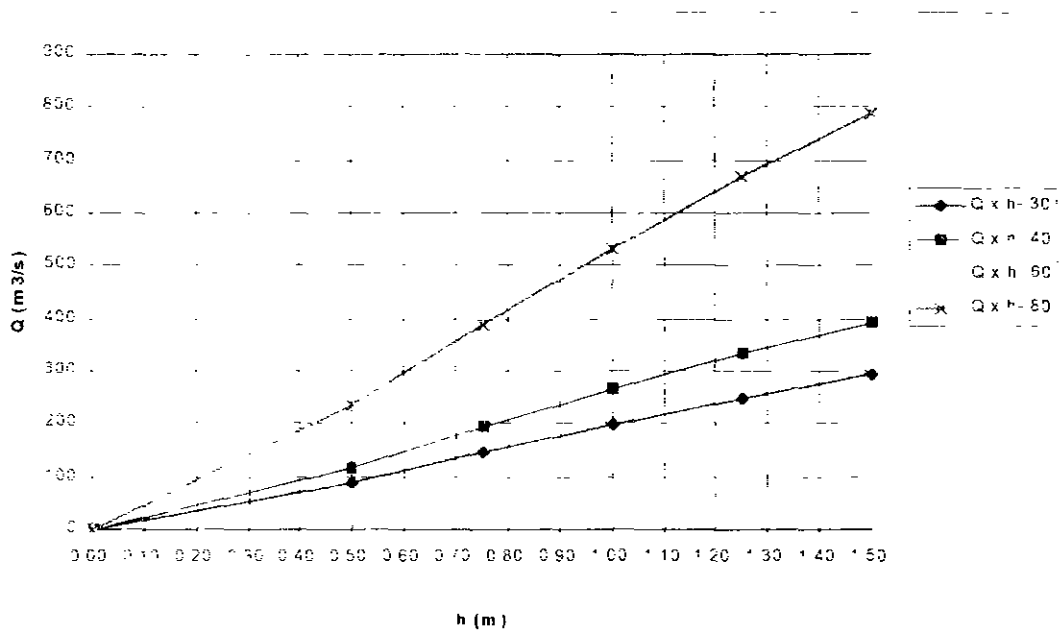


Figura 7.2 - Relação Vazão x Lâmina para o Sangradouro Labirinto

7.2 - RESULTADOS

Como auxílio na definição da dimensão do reservatório Catu, foi realizado o estudo de laminação para as várias larguras de sangradouro, ficando para o estudo definitivo a laminação da cheia de 10 000 anos. Este procedimento visa garantir que a barragem não seja galgada naquela cheia, servindo, assim, para a definição da cota de coroamento da barragem.

7.2.1 - Sangradouro em perfil Creager

Referindo-se ao perfil Creager, os picos dos hidrogramas de entrada e saída, a cota e altura da lâmina vertida encontram-se no Quadro 7.2 para várias alternativas de sangradouro, usando-se como hidrograma de projeto aquele associado ao tempo de retorno de 1000 anos. Os hidrogramas efluentes associados a 1000 anos de tempo de retorno estão apresentados na Figura 7.4

Quadro 7 2 - Vazões de pico e lâminas resultantes da simulação para a cheia afluente com Tr=1000anos (perfil Creager, Qp afluente = 256,4 m³/s)

Cota da Soleira (m)	Volume (m3)	Largura(m)	Qsaída (m3/s)	Cota de Pico (m)	Lâmina (m)
44 0	21810026 8	30	70 72	45 05	1 05
		40	86 38	44 90	0 90
		60	110 82	44 89	0 89
		80	128 88	44 82	0 82
		30	66 19	45 51	1 01
44 5	24395678 6	40	81 01	45 45	0 95
		60	104 49	45 36	0 86
		80	123 29	45 29	0 79
45 0	27130664 1	30	62 17	45 97	0 97
		40	76 25	45 91	0 91
		60	99 20	45 83	0 83
		80	116 71	45 76	0 76
45 5	30072866 1	30	57 46	46 42	0 92
		40	71 15	46 37	0 87
		60	93 42	46 30	0 80
		80	111 24	46 24	0 74
46 0	33164341 0	30	53 16	46 87	0 87
		40	65 96	46 83	0 83
		60	86 89	46 76	0 76
		80	103 85	46 71	0 71

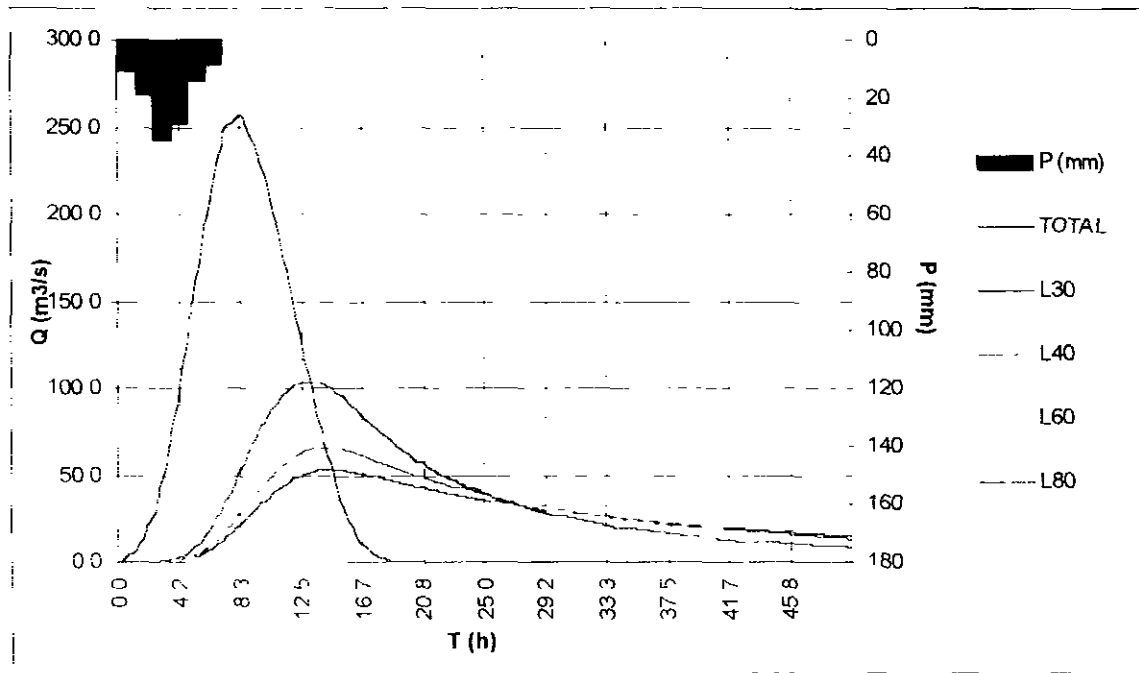


Figura 7.4 - Hidrogramas efluentes associados a 1 000 anos de tempo de retorno para várias larguras de sangradouro perfil Creager (Q_p afluente = $256,4\text{m}^3/\text{s}$)

7.2.2 - Sangradouro tipo labirinto

O pico da cheia de afluente milenar e da cheia efluente, a cota e altura da lâmina vertida encontram-se no Quadro 7.4 para várias alternativas de sangradouro labirinto (descritas no Quadro 7.1). Os hidrogramas efluentes associados a 1000 anos de tempo de retorno estão apresentados na Figura 7.5

Quadro 7 4 - Vazões de pico e lâminas resultantes da simulação para a cheia afluente
com Tr=1000anos (Labirinto, Qp afluente = 256,4 m³/s)

Cota da Soleira (m)	Volume (m ³)	Largura(m)	Qsaída (m ³ /s)	Cota de Pico (m)	Lâmina (m)
44 0	21810026 8	30	140 10	44 72	0 72
		40	159 28	44 63	0 63
		60	182 06	44 51	0 51
		80	199 25	44 42	0 42
		30	135 80	45 20	0 70
44 5	24395678 6	40	155 80	45 12	0 62
		60	181 49	45 01	0 51
		80	199 25	44 92	0 42
		30	129 54	45 68	0 68
		40	148 51	45 60	0 60
45 0	27130664 1	60	172 11	45 49	0 49
		80	191 47	45 41	0 41
		30	125 53	46 16	0 66
		40	145 50	46 09	0 59
		60	172 11	45 99	0 49
45 5	30072866 1	80	191 47	45 91	0 41
		30	117 84	46 63	0 63
		40	136 26	46 56	0 56
		60	162 17	46 46	0 46
		80	182 36	46 39	0 39

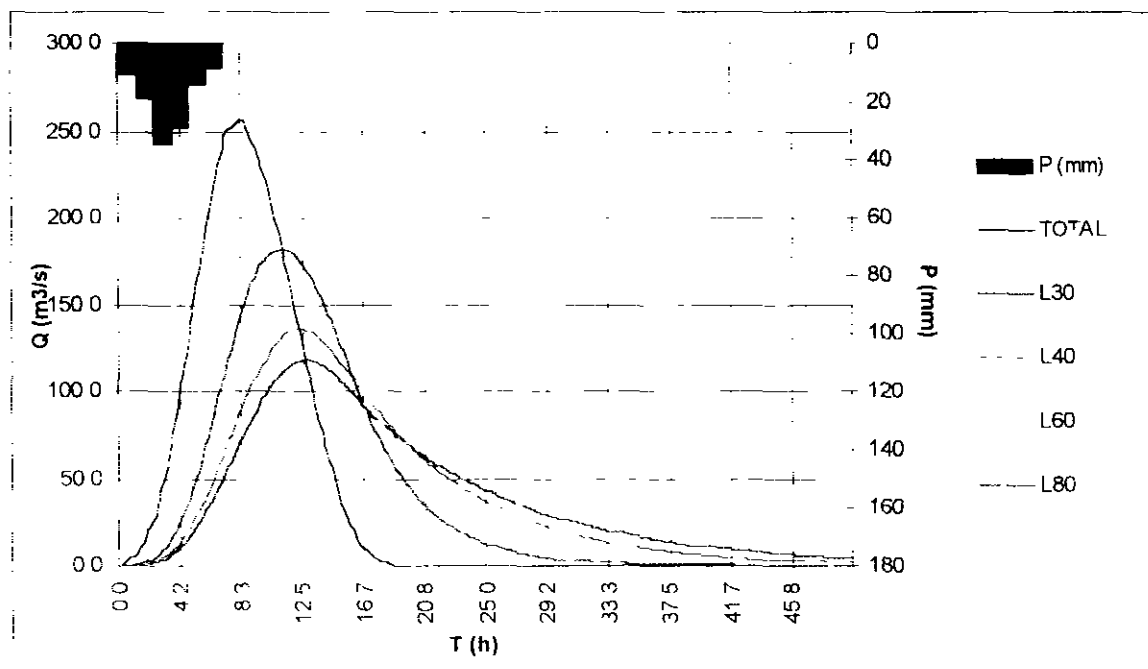


Figura 7.5 - Hidrograma Efluente associado a 1000 anos de tempo de retorno para sangradouro tipo labirinto (Q_p afluente = 256 m^3/s)

7.2.3 - Alternativa selecionada

Finalmente, a alternativa de sangradouro selecionada de acordo com critérios hidrológicos foi do tipo Creager com largura de 30,0 m. Na simulação este apresentou uma lâmina máxima vertida de 0,87m de altura e uma vazão de pico amortecida de projeto igual a 128,2 m^3/s

Observa-se no quadro 7.5 que a cota do pico da cheia decamilenar é igual a 47,57m, 80,0cm abaixo da cota máxima prevista para o coroamento da barragem que é de 48,37m, considerando-se uma folga de 1,5m. O critério de não galgamento da barragem com a cheia de 10000 anos fica, portanto, obedecido

Para a cota de soleira do sangradouro em 46,00m, a vazão regularizada com 90% de garantia, calculada conforme o método de Campos(1990), ficou igual a 226 l/s, como já foi observado no capítulo 6

A Figura 7 6 apresenta o hidrograma efluente associado à cheia decamilenar para uma largura de sangradouro igual a 30m e em seguida, na figura 7 7, os hidrogramas afluente e efluente de projeto ($T_r=1000$ anos) A Figura 7 8 mostra a curva cota x área x volume utilizada no estudo de propagação da onda de cheia deste capítulo

Quadro 7 5 - Vazão de pico e lâmina resultante da simulação para a cheia afluente com $T_r=10000$ anos (Creager, Q_p afluente = 509 m³/s)

L (m)	Q_p (m ³ /s)	Cota da soleira (m)	Cota de pico (m)	Lâmina máxima (m)
30,00	128.18	46.00	47.57	1.57

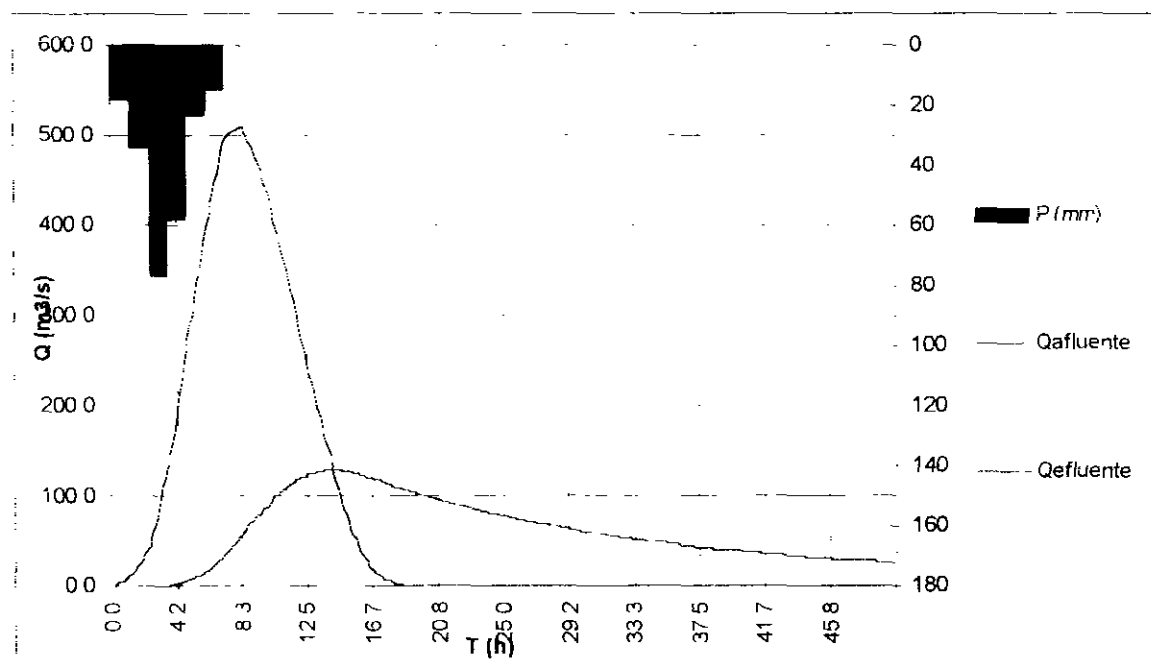


Figura 7 6 - Hidrograma Efluente associado a 10 000 anos de tempo de retorno (Perfil Creager - Q_p afluente = 509 m³/s)

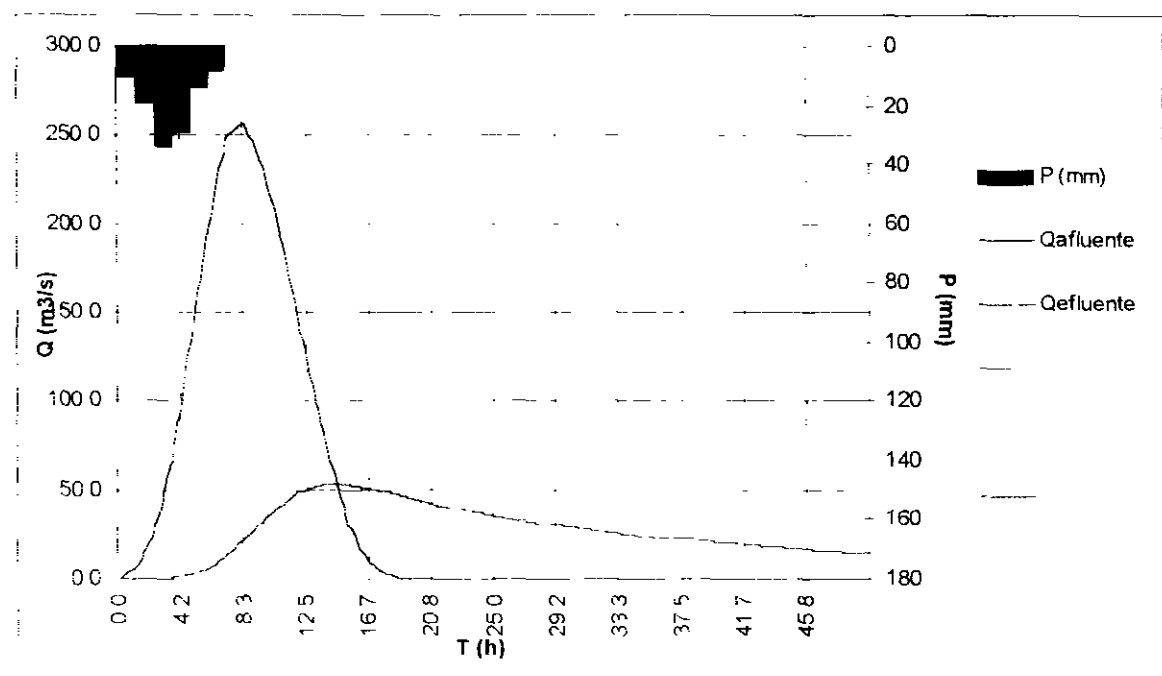


Figura 7.7 - Hidrograma Efluente de projeto - Perfil Creager ($T_r=1000$ anos - $Q_{\text{pafluente}} = 256 \text{ m}^3/\text{s}$)

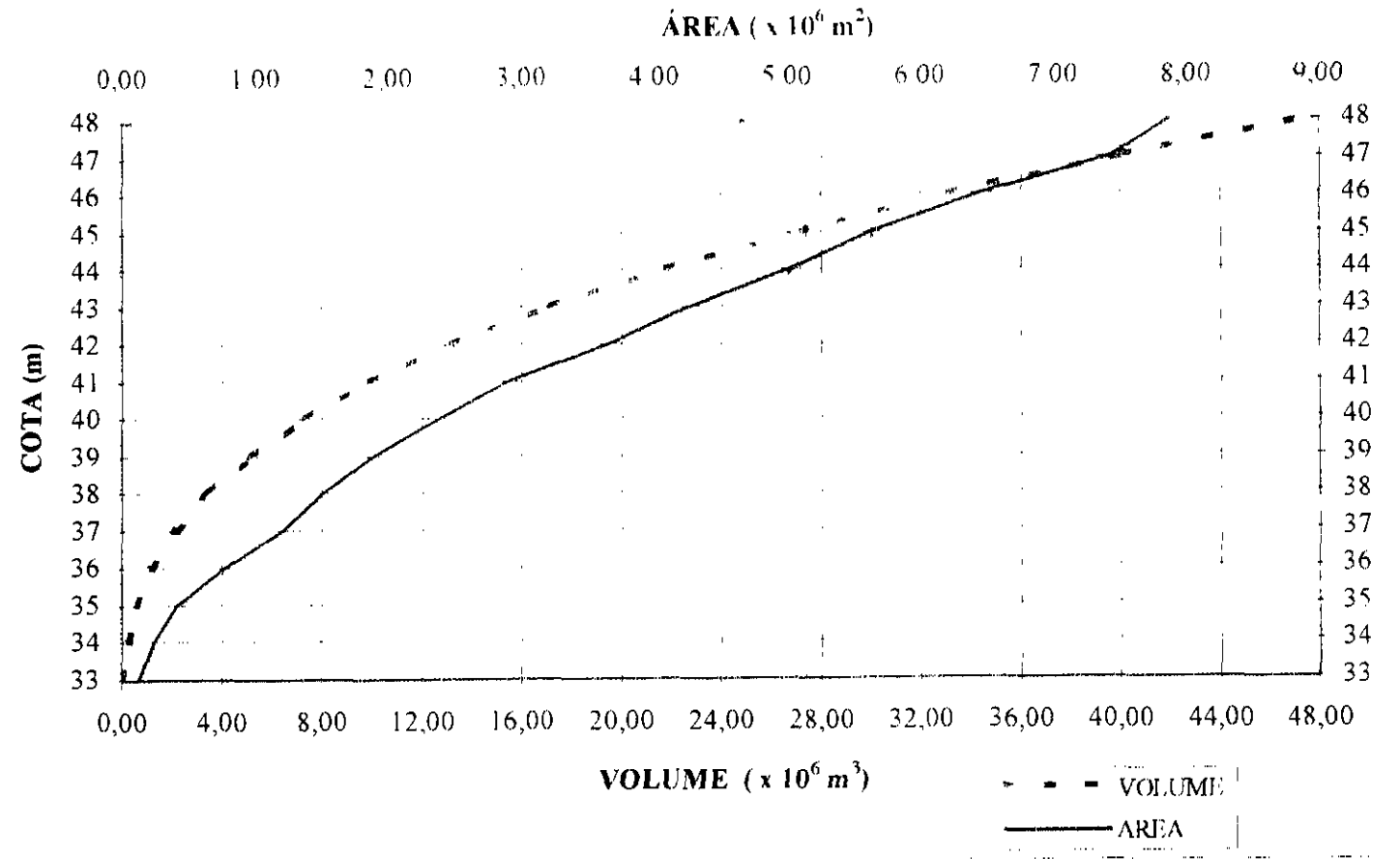


Figura 7.8 - Curva cota x área x volume da barragem do Catu

8 - ESTUDOS COMPLEMENTARES

8 - ESTUDOS COMPLEMENTARES

8 1 - INTRODUÇÃO

Este capítulo apresenta estudos adicionais visando fornecer características do reservatório durante a fase de operação, sob o título 8 2 - Estudos da Disponibilidade Hídrica, foi analisada

- a probabilidade de enchimento do reservatório na fase transiente,
- a probabilidade de esvaziamento do reservatório na fase de equilíbrio,
- a probabilidade de enchimento do reservatório na fase de equilíbrio,

Foi também estudada, de forma preliminar, a deposição de sedimentos no reservatório ao longo do tempo sob o título 8 3 - Análise da possibilidade de assoreamento e o estudo da interferência do açude Catu no Lago do Catu

8 2 - ESTUDO DA DISPONIBILIDADE HÍDRICA

O estudo da disponibilidade hídrica do reservatório Catu comprehende o estudo das probabilidades de enchimento na fase transiente e de esvaziamento e enchimento do reservatório na fase de equilíbrio. Este estudo pode ser realizado diante duas óticas na fase transiente, quando essa probabilidade depende do volume inicial do reservatório, na fase de equilíbrio, quando o processo estocástico de armazenamento torna-se ergódico. A metodologia aqui empregada tem suporte teórico na teoria estocástica de reservatórios ou Teoria de Moran¹³, apresentando como novidade a inclusão da matriz de evaporação para considerar as perdas por este processo - método de CAMPOS (1990)

As etapas de cálculo destas probabilidades para um reservatório de uma determinada capacidade e retirada são descritas a seguir

¹³ MORAN, P.A.P. 1959. THE THEORY OF STORAGE. LONDON: METHUEN & CO LTD, 111 p.

1 dividir o volume total do reservatório K, por 20, definindo 21 estados que podem ser atingidos pela reserva. A representação gráfica do espaço de definição destes estados de reserva é apresentada na figura 8.1 e no Quadro 8.1

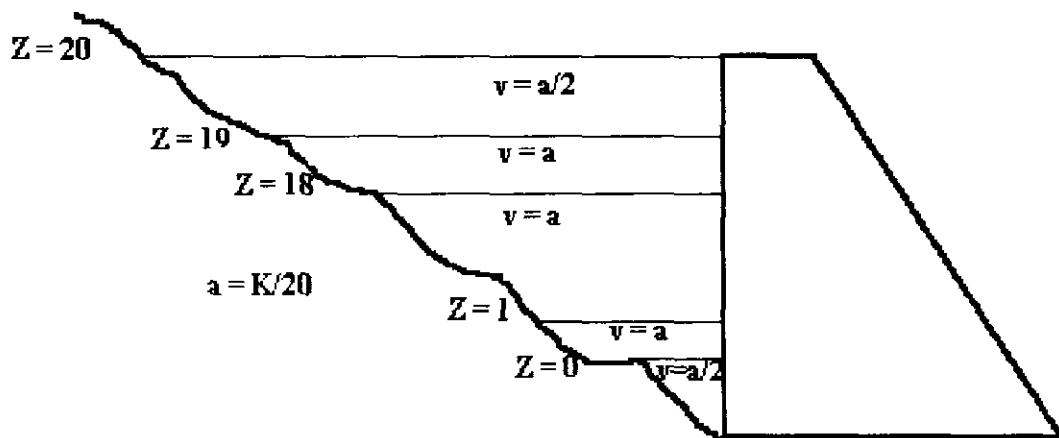


Figura 8.1 - Espaço de definição dos estados de reserva

Quadro 8.1 - Limite, em volume, dos estados de reserva

NUMERO DO ESTADO (z)	LIMITES DE ARMAZENAMENTO	ARMAZENAMENTO NO ESTADO (2)
0	$0 < z \leq (1/2) a$	$z = \text{seco}$
1	$(1/2) a < z \leq (3/2) a$	$z = a$
2	$(3/2) a < z \leq (5/2) a$	$z = 2 a$
n-1	$(n-3/2) a < z \leq (n-1/2) a$	$z = (n-1) a$
n	$(n-1/2) a < z \leq K$	$z = \text{cheio}$

- 2 Calcular a matriz de transição de probabilidades devido aos deflúvios anuais [W]
Supõe-se que os deflúvios seguem uma distribuição Gamma de dois parâmetros na estação úmida e com uma massa de probabilidades para a estação seca
- 3 Calcular a matriz de transição de probabilidades devido à metade da evaporação (E), supondo que a relação cota x área x volume é determinada por

$$Z(h) = \alpha h^3 \quad \text{e} \quad A(h) = 3\alpha h^2,$$

onde h - altura do espelho d'água, α - fator de forma (obtido por regressão entre Z e h^3), A - área do espelho d'água a altura h e V - volume acumulado a altura h

- 4 Calcular a matriz de transição de probabilidades para uma retirada anual de M unidades de água [M].
- 5 Calcular a matriz de transição de probabilidade anual através do produto das matrizes parciais

$$[Q] = [E] [M] [E] [W]$$

- 6 Formar o sistema de equações para determinar a probabilidade de interesse

$$q_{00} p_0 + q_{01} p_1 + \dots + q_{0N} p_N = p_0$$

$$q_{10} p_0 + q_{11} p_1 + \dots + q_{1N} p_N = p_1$$

$$q_{N0} p_0 + q_{N1} p_1 + \dots + q_{NN} p_N = p_N$$

onde q_{ij} = probabilidade da reserva passar do estado i ao j em um ano e p_i = probabilidade da reserva atingir o estado i em condições de equilíbrio. Como o sistema acima não é homogêneo, uma de suas equações deve ser substituída por

$$p_0 + p_1 + \dots + p_N = 1$$

- 7 Resolver o sistema acima e calcular p_0 e p_N , respectivamente, a probabilidade do reservatório estar seco e cheio em condições de equilíbrio

Através desta metodologia foram determinadas as curvas de probabilidade de enchimento do reservatório (inicialmente seco) na fase transiente considerando as retiradas de 0, $Q_{r90}/4$, $Q_{r90}/2$, $3 Q_{r90}/4$ e Q_{r90} (Quadro 8.2). Como pode-se observar pela figura 8.2, a retirada de Q_{r90} ao atingir o equilíbrio tem uma garantia próxima a 90%, como era esperado (volume anual regularizado com 90% de garantia). Na figura 8.2 apresenta-se as curvas de garantia para as retiradas de 0, $Q_{r90}/4$, $Q_{r90}/2$, $3 Q_{r90}/4$ e Q_{r90} .

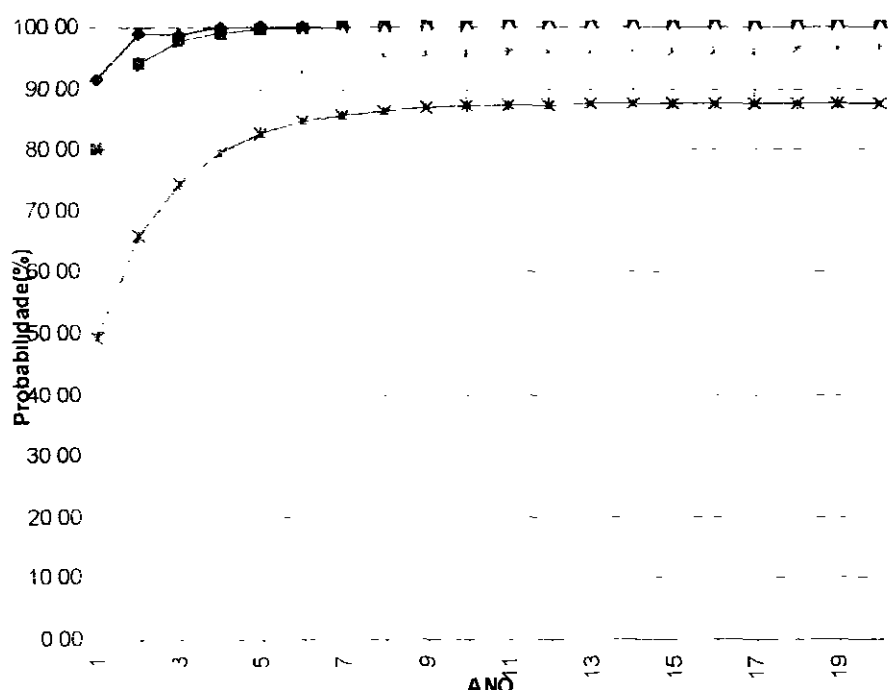


Figura 8.2 - Análise Probabilística da Garantia do Reservatório - fase transiente M= Q_{r90}

**Quadro 8 2 - Análise Probabilística do Enchimento do Reservatório na Fase Transiente
Reservatório inicialmente seco**

ANO	0	M/4	M/2	3M/4	M
1	91 46	80 04	68 29	56 84	49 34
2	98 93	94 18	85 54	74 92	66 17
3	98 83	97 87	92 19	83 41	74 65
4	99 96	99 09	95 36	88 18	79 60
5	99 99	99 57	97 07	91 10	82 62
6	100 00	99 78	98 06	92 98	84 49
7	100 00	99 89	98 66	94 21	85 66
8	100 00	99 94	99 04	95 02	86 39
9	100 00	99 96	99 28	95 55	86 84
10	100 00	99 98	99 43	95 9	87 13
11	100 00	99 99	99 53	96 14	87 3
12	100 00	100 00	99 59	96 29	87 41
13	100 00	100 00	99 63	96 39	87 48
14	100 00	100 00	99 65	96 46	87 53
15	100 00	100 00	99 67	96 51	87 55
16	100 00	100 00	99 68	96 53	87 57
17	100 00	100 00	99 69	96 55	87 58
18	100 00	100 00	99 69	96 57	87 59
19	100 00	100 00	99 70	96 58	87 59
20	100 00	100 00	99 70	96 58	87 6
21	100 00	100 00	99 70	96 58	87 6

M = Retirada anual (hm³)

* Início do estado de equilíbrio (independência das condições iniciais)

Também foi realizada a análise probabilística de esvaziamento e de enchimento na fase de equilíbrio. A última análise mostra que, no equilíbrio, em cerca de % dos anos ocorre sangria para uma retirada anual de hm³. A figura 8 3 apresenta as duas curvas probabilísticas (esvaziamento e enchimento), enquanto que o Quadro 8 3 os seus valores correspondentes. No Quadro 8 3 pode-se observar que para uma retirada igual a 7,042 hm³/ano tem-se uma probabilidade de esvaziamento na fase de equilíbrio igual a 10,8 %, o que implica em uma garantia próxima a 90%.

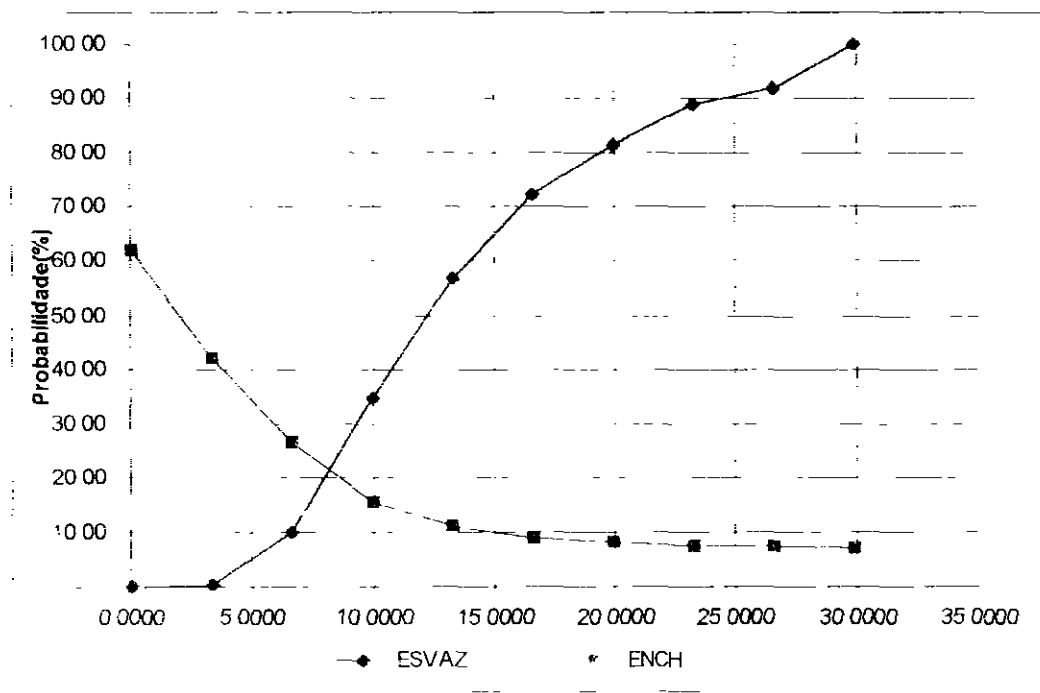


Figura 8.3 - Análise Probabilística de esvaziamento e enchimento - fase de equilíbrio

Quadro 8.3 - Análise Probabilística de esvaziamento
e enchimento - fase de equilíbrio

RETIRADA	ESVAZIAMENTO	ENCHIMENTO
0 0000	-	61,90
3 3164	0,20	42,00
6 6328	9,80	26,50
9 9492	34,60	15,60
13 2656	56,90	11,00
16 5820	72,50	9,00
19 8984	81,50	8,00
23 2148	88,80	7,50
26 5312	91,90	7,20
29 8476	100,00	7,10

8.3 - ESTUDO DE INTERFERÊNCIA

Seja o sistema composto por dois reservatórios em série, o reservatório Catu e o Lago Catu. Considere-se que o Lago do Catu (R_1) representa o único reservatório existente na bacia hidrográfica em análise e que planeja-se construir um novo reservatório a montante (R_2), reservatório Catu. Será feita a análise em dois cenários: cenário 1, somente com o reservatório R_1 e cenário 2, após a construção de R_2 .

Cenário 1

Na situação inicial a capacidade de regularização do sistema pode ser representada pela equação $Q_{1,S} = Q_{1,R_1}$, onde $Q_{1,S}$ representa a vazão total regularizada pelo sistema no cenário 1 e Q_{1,R_1} representa a vazão regularizada pelo reservatório R_1 .

Cenário 2

Após a construção do reservatório R_2 , a capacidade de regularização total do sistema passa a $Q_{2,S} = Q_{2,R_1} + Q_{2,R_2}$, sendo $Q_{2,S}$ a vazão regularizada pelo sistema no cenário 2 e Q_{2,R_1} a vazão regularizada por R_2 respectivamente.

As transformações ocorridas

A introdução do reservatório a montante de R_1 provoca os seguintes efeitos na capacidade de regularização da bacia hidrográfica:

- A vazão regularizada pelo reservatório de jusante decresce de Q_{1,R_1} para Q_{2,R_1} ($Q_{1,R_1} \leq Q_{2,R_1}$)
- Há ganhos de vazões regularizadas no local do novo reservatório R_2 (Q_{2,R_2}), não se podendo afirmar a priori se esse ganho total supera o decréscimo em capacidade de regularização do reservatório R_1 .

Assim, a introdução dos reservatórios de montante implicam em uma redistribuição das vazões regularizadas na bacia hidrográfica podendo haver ou ganho na capacidade de regularização do sistema.

Para o estudo das vazões afluentes ao lago do Catu foram utilizados os seguintes parâmetros: fator de forma do lago do Catu $\alpha=29672$; evaporação durante a estação seca $E=822,3\text{mm}$ e o volume médio afluente de $33,704\text{hm}^3/\text{ano}$. Este volume foi estimado com base em uma lâmina escoada média de 202mm sobre a bacia hidrográfica total do lago, que é de $166,90\text{ km}^2$. Adotou-se o coeficiente de variação dos defúvios anuais igual a 0,9, de acordo com o capítulo 6 - Estudo dos Deflúvios.

Os dados contidos no quadro 8 4, mostram que, a medida que aumenta-se o volume do reservatório a montante (reservatório Catu), tem-se um aumento dos volumes regularizados e evaporados neste reservatório e uma redução dos volumes sangrados para a lagoa do Catu

A análise de interferência hidrológica é feita através da solução direta da equação do balanço hídrico, comparando-se a distribuição dos volumes regularizados (RG), evaporados (EV) e sangrados (SG) e o total regularizado para cada cenário (quadro 8 4)

Cenário 1 - Lago do Catu: Na situação atual, a água proveniente do escoamento superficial da bacia do Lago do Catu têm a seguinte destinação

Evaporação (EV) 1,075 hm³/ano

Sangria (SG) 29,949 hm³/ano

Regularização (RG) 2,739 hm³/ano

Total (EV+SG+RB) 33.704 hm³/ano

Observe-se que aproximadamente 89% do escoamento da bacia é perdido sob a forma vertimento para o mar, significando grande potencialidade de armazenamento na bacia

Cenário 2 - Lago do Catu - Barragem Catu: Com a construção do reservatório Catu, a repartição do escoamento superficial da bacia hidrográfica do riacho Catu ocorre da seguinte maneira

Evaporação (EV) 4,794 hm³/ano

Sangria (SG) 20,011 hm³/ano

Regularização (LB) 8,899 hm³/ano

Total (EV+SG+LB) 33,704 hm³/ano

Nesse novo cenário, a barragem Catu passou a regularizar 6,641 hm³/ano e o Lago do Catu teve sua capacidade de regularização reduzida em 0,450 hm³/ano. No sistema houve um ganho de regularização de 6,191 hm³/ano, uma redução da sagria de 9,925 hm³/ano e um acréscimo na evaporação de 3 733 hm³/ano. Mesmo com esta nova obra, o sistema continua perdendo por sagria cerca de 59% do volume escoado na bacia

Evaporação (EV) 1,061 hm³/ano

Sangria (SG) 29,936 hm³/ano

Regularização (RG) 2,708 hm³/ano

Total (EV+SG+RB) 33,704 hm³/ano

Quadro 8 - Repartição dos volumes escoados nos cenários 1 e 2 - sistema Catu

VOLUMES (hm ³)	Cenário 1	Cenário 2		Sistema
	Lagoa do Catu K=4,2 hm ³	Cinzenta K=33,16hm ³	Lago do Catu K=4,2hm ³	
EV	1 061	3 656	1 138	4 794
SG	29 936	2 728	20 011	20 011
RG	2 708	6 641	2 258	8 899
TOTAL	33 704	13 025	23 407	33 704

8.4 - ANALISE DA POSSIBILIDADE DE ASSOREAMENTO

O assoreamento de um reservatório ao longo da sua vida útil é inevitável porquanto a erosão e o transporte de sedimentos na bacia hidrográfica são processos naturais que, com a formação do lago, sofrem interferência no seu equilíbrio.

O menor ou maior grau de assoreamento a que estará sujeito o reservatório depende de varios fatores, onde pode-se destacar aqueles inerentes à hidrologia da bacia hidrográfica, capacidade de armazenamento do açude frente ao volume afluente, conformação geométrica da bacia hidráulica e a composição dos sedimentos.

Sendo assim, ao estimar-se o volume de assoreamento esperado para o reservatório Catu, várias etapas metodológicas têm que ser cumpridas, quais sejam:

- Estimativa da carga anual de sedimentos
- Cálculo do peso específico aparente do depósito
- Cálculo da eficiência de retenção
- Estimativa do volume de assoreamento ao longo do tempo

8.4.1 - Estimativa da carga anual de sedimentos

Há diversos métodos para a estimativa da afluência de sedimentos a um reservatório. Aqui, foi utilizada uma equação de perda de solos consagrada na literatura e muito empregada em regiões com carência de dados sedimentométricos. Tal é o caso da bacia do Catu em Cíntzenta, onde foi utilizada uma taxa relativamente pequena (2 t/ha ano) de perda de solo devido à conformação plana da bacia hidrográfica e também das baixa velocidade do escoamento.

A razão de transporte ("delivery ratio") de uma bacia hidrográfica é a relação entre a produção de sedimentos numa dada seção de controle e a quantidade de material erodido a montante. Experimentos têm mostrado que a razão de transporte cresce à medida que a área da bacia diminui. A equação abaixo, citada por Veiga(1993)¹⁴, explica a razão de transporte T em função da área A, em km², da bacia hidrográfica.

$$T = 0,3345 \cdot A^{-0,1774}$$

8.4.2 - Cálculo do peso específico aparente do depósito

Os sedimentos que serão depositados na bacia hidráulica do reservatório provêm da bacia hidrográfica do mesmo. Assim, pode-se estimar a composição média dos sedimentos depositados com base na pedologia da bacia hidrográfica.

O Quadro 8.5 mostra os tipos de solo encontrados na bacia e as frações médias de argila, silt e areia em cada um. Partindo destes dados fez-se um ponderação com relação à área de abrangência espacial de cada tipo de solo, resultando na composição total de sedimentos.

¹⁴Veiga Lopes, Ayde, Aplicação de Métodos de Previsão de Assoreamento de Reservatórios. Dissertação de Mestrado, Campinas, SP (1993).

Quadro 8 5 - Composição dos solos da bacia do Catu em Cinzenta

Tipos de solo	Cobertura da Bacia	Frações		
		Areia	Silte	Argila
Lítólicos Distróficos com Areais Quartzosas	100 %	79	10	11

A fim de se considerar a compactação dos sedimentos depositados ao longo do tempo, utilizou-se a equação de Miller (1962)

$$\gamma_t = \gamma_i + 0.4343 K \left(\frac{T}{T-1} \ln T - 1 \right)$$

γ_t peso específico médio do depósito após t anos de operação do reservatório (t/m^3)

K coeficiente de consolidação médio

De acordo com US Bureau of Reclamation, o reservatório Catu se enquadra no tipo 2 de operação - reservatório com pequena ou moderada depleção. Os valores de K (K_c, K_m, K_s) correspondentes a cada fração do solo (K_c argila, K_m silte e K_s areia) são dados no quadro abaixo

O peso específico inicial γ_i é dado por

$$\gamma_i = W_c * P_c + W_m * P_m + W_s * P_s$$

O valor de K médio consolidado é dado por

$$K = K_c * P_c + K_m * P_m + K_s * P_s$$

onde os índices c, m, s significam , respectivamente, argila, silte e areia

Quadro 8 6 - Coeficientes para cálculo de pesos específicos aparentes

Tipo	$W_c(t/m^3)$	K_c	$W_m(t/m^3)$	K_m	$W_s(t/m^3)$	K_s
1	0,416	0,2563	1,121	0,0913	1,554	0,0
2	0,561	0,1346	1,137	0,0288	1,554	0,0
3	0,641	0,0000	1,153	0,0000	1,554	0,0
4	0,961	0,0000	1,169	0,0000	1,554	0,0

8.4.3 - Cálculo da eficiência de retenção

A eficiência de retenção de um reservatório é definida como a razão entre o volume de sedimentos depositados e o de sedimentos afluentes. Sabe-se que esta relação (Er) é função do volume efetivo (não assoreado) do açude (Ve) e do deflúvio médio afluente à seção da barragem. As curvas de Brune explicitam esta dependência funcional. Utilizou-se, neste caso em particular, um das equação ajustada por Gill(1979) apud Trindade(1995)¹⁵, a qual representa a curva de sedimentos médios

$$Er = ((Ve/D)/(0,012+1,02(Ve/D)))$$

onde

Er eficiência de retenção em %

Ve/D relação Capacidade do reservatório para volume afluente médio anual

8.4.4 - Estimativa do volume assoreamento ao longo do tempo

A estimativa do volume assoreado e, consequentemente, do volume efetivo ou útil do reservatório ao longo do tempo é feita através da simulação simplificada da operação do reservatório em intervalos de igualmente espaçados durante um tempo suficientemente longo. O açude Catu foi simulado durante 100 anos com dt igual a 10 anos.

O Quadro 8.7 apresenta os valores obtidos de acordo com a metodologia descrita nos itens anteriores. A tabela mostra o acompanhamento, a cada intervalo de simulação, das variáveis utilizadas bem como do volume sedimentado (col. 8) e do volume efetivo (col. 9).

Composição média dos sedimentos Argila 11%

Silte 10%

Areia 79%

Peso específico aparente inicial - γ_l 1,403 t/m³

Coeficiente de consolidação médio - K 0,01769

Descarga sólida média 48000,0 t/ano

¹⁵Trindade, Pedro Agostinho, Dimensionamento de Reservatórios de Estiagem com Vida Útil Conhecida, XI Simpósio Brasileiro de Recursos Hídricos, Recife, PE (1995).

Descarga sólida média específica (t/km²/ano) 200 t/km²/ano

Razão de transporte ("delivery ratio") - T 0 160

Quadro 8 7 - Simulação do assoreamento do reservatório ao longo do tempo

Período Parcial (anos)		Ve inicial (hm ³)	Ve/D	Er	gamaT (t/m ³)	Sedim. Período (10 ³ t)	Sedim. acum (hm ³)	Ve final (hm ³)
[1]	[2]	[3]	[4]	[5]	[6]	[7]	[8]	[9]
0	10	33 164	2 546	0 976	1 415	468 424	0 331	32 833
10	20	32 833	2 521	0 976	1 420	468 402	0 661	32 503
20	30	32 503	2 495	0 976	1 422	468 380	0 990	32 174
30	40	32 174	2 470	0 976	1 424	468 358	1 319	31 845
40	50	31 845	2 445	0 976	1 426	468 335	1 647	31 517
50	60	31 517	2 420	0 976	1 427	468 311	1 976	31 188
60	70	31 188	2 395	0 976	1 428	468 287	2 303	30 861
70	80	30 861	2 369	0 976	1 429	468 263	2 631	30 533
80	90	30 533	2 344	0 975	1 430	468 238	2 958	30 206
90	100	30 206	2 319	0 975	1 431	468 213	3 285	29 879

Observando-se o quadro acima, conclui-se que ao fim de 50 anos de operação o açude Catu terá seu volume diminuído em aproximadamente 6% e ao fim de 100 anos seu volume estará 10% menor que a capacidade original. Resolvendo-se as incertezas relativas à estimativa da perda de solos na bacia, estes dados revelam uma taxa de assoreamento pouco acentuada face à capacidade total do açude Catu.

É importante notar que um dado básico para a estimativa destes volumes assoreados é a descarga de sedimentos em suspensão medida no curso d'água. Como sequer existem dados comparativos de bacias vizinhas, deve-se utilizar os valores aqui estimados com cautela até que seja possível uma verificação através de um maior conhecimento da realidade física da bacia hidrográfica.

8 5 - ANÁLISE DA SISMICIDADE

Devido à falta de estudos de sismicidade na região onde se localizará a barragem de Catu, apresenta-se abaixo um resumo de um estudo global na região Nordeste efetuado pelo DNOCS(1990).

Comparado com outras zonas sínicamente ativas da América do Sul, o perigo de abalos sísmicos no Nordeste do Brasil é relativamente baixo.

A composição tectônica do Nordeste é a de uma região intraplacas distante dos contornos de placa ativos. A ocorrência de abalos sísmicos nesta região não é bem compreendida e somente associações muito gerais com estruturas geológicas regionais são possíveis no presente momento. Evidências geológicas de falhamentos quaternários são geralmente ausentes na região, o que também pode ser devido a uma falta de estudos mais detalhados.

Os maiores abalos ocorridos no Nordeste são de cerca de 5,25 mb. Para o Rio Grande do Norte e Ceará, uma área de aproximadamente 200 000km², um abalo máximo esperado é de 5,5mb pode ser aceito como razoavelmente conservador até o presente estado do conhecimento da tectônica da região. As limitações dos registros históricos de sismicidade restringem a confiabilidade na estimativa de recorrência de abalos, mas os dados disponíveis, resumidos na Tabela em anexo, sugerem uma recorrência de muitas centenas de anos para a região.

Considerações gerais da estimativa de recorrência de abalos na região sugerem que a probabilidade anual de ocorrência é da ordem de 1×10^{-4} ou menos.

Informações específicas sobre a profundidades locais dos abalos são limitados. Monitoramentos dos abalos ocorridos em João Câmara-RN (1986-1988) pela UFRN sugerem profundidades inferiores a 10km. Intensidades relativamente altas reportadas em pequenas áreas para muitos eventos históricos também sugerem a ocorrência de eventos muito rasos, da ordem de 5 a 20km de profundidade.

Os principais resultados destes estudos hidrológicos encontram-se sumarizados abaixo

Climatologia:	
Pluviometria Média Anual (sobre a bacia)	1100 mm
Evaporação Média Anual	1468 mm
Evapotranspiração Potencial (Hargreaves)	1563 mm
Insolação Média Anual	2694,3 h
Umidade Relativa Média Anual	78,3 %
Temperatura Média Anual Média das Máximas	29,9 °C
Temperatura Média Anual Média das Médias	26,6 °C
Temperatura Média Anual Média das Mínimas	23,5 °C
Classificação Climática	C1SA'a'
Regime hidrológico médio da bacia e capacidade de regularização do reservatório:	
Área da Bacia Hidrográfica	64,5 km ²
Coeficiente de Escoamento	18,0%
Volume afluente médio anual	13,025 hm ³
Lâmina Escoada Média	202 mm
Coeficiente de Variação dos defluvios	0,90
Capacidade total do reservatório	33,164 hm ³
Volume regularizável anual com 90% de garantia	0,226 m ³ /s
Dimensionamento do sangradouro:	
Tipo de sangradouro	Perfil Creager
Largura do sangradouro	30,00 m
Cota do sangradouro	46,00 m
Vazão de pico afluente (Tr=1000anos)	256 m ³ /s
Vazão de pico amortecida (Tr=1000 anos)	53 m ³ /s
Altura da lâmina vertente (Tr=1000 anos)	0,87 m
Vazão de pico afluente de verificação (Tr=10000 anos)	509 m ³ /s
Vazão de pico amortecida de verificação (Tr=10000 anos)	128 m ³ /s
Altura da lâmina vertente de verificação (Tr=10000anos)	1,57 m

ANEXOS

A.1. Análise de frequência

Posto do Rio das Ostras

SAMPLE SIZE = 51

STATISTICS OF THE OBSERVED VALUES

MEAN = 77.96 STD DEV = 26.70 COEF OF SKEW = 2.2619

STATISTICS OF THE NATURAL LOGARITHMS
MEAN = 4.51030 STD DEV = 1.9438 COEF OF SKEW = 7.926

STATISTICS OF THE BASE 10 LOGARITHMS

MEAN = 1.87194 STD DEV = 12.785 COEF OF SKEW = 7.033

FREQUENCY DISTRIBUTION

RETURN PERIOD (YRS)	TRUNCATED NORMAL	2-PARAMETER LOGNORMAL	3-PARAMETER LOGNORMAL	TYPE I EXTREMAL (POT)	TYPE I LOG-EXTREMAL (POT)	PEARSON TYPE III	LOG PEARSON TYPE III
2.18	71.64	74.42	71.27	73.76	71.10	69.27	71.67
2.33	80.74	78.41	81.12	76.63	78.62	73.94	75.65
5.00	101.62	95.89	98.77	99.80	91.74	92.93	94.13
10.00	111.63	109.14	111.24	117.74	114.88	112.10	117.69
20.00	121.70	121.96	129.39	133.51	131.49	133.39	128.78
50.00	131.25	138.53	131.46	164.98	159.39	166.94	155.11
100.00	142.12	154.74	180.69	171.02	217.77	183.80	177.65
200.00	144.45	167.14	206.35	187.40	241.80	208.67	202.98
500.00	158.53	181.93	234.58	208.58	312.65	251.94	241.66
1000.00	166.13	194.49	217.22	224.61	372.70	269.96	275.66

FREQUENCY DISTRIBUTION

CLASS INTERVAL	PROBABILITY (%)	TRUNCATED NORMAL	2-PARAMETER LOGNORMAL	3-PARAMETER LOGNORMAL	TYPE I EXTREMAL (POT)	TYPE I LOG-EXTREMAL (POT)	PEARSON TYPE III	LOG PEARSON TYPE III
0	00000	60	61	60	60	60	60	60
+	14296	49.45	54.39	55.26	50.06	54.74	59.00	54.65
2	28571	62.84	63.64	61.52	69.17	61.20	64.51	61.79
3	42857	73.15	70.62	67.80	69.15	67.57	71.24	67.89
4	57143	82.76	78.52	75.13	78.68	75.06	79.93	75.25
5	71429	93.06	87.96	84.96	80.36	85.38	92.18	84.87
6	85714	106.46	101.96	101.67	108.30	104.05	113.09	106.87
7	1.00000	INFINITY	INFINITY	INFINITY	INFINITY	INFINITY	INFINITY	INFINITY
CHI-SQUARE VALUE		11.451	7.059	5.137	14.745	5.412	2.667	5.137

95% CHI-SQUARE TEST STATISTIC = 12.596

RETURN PERIOD LOG PEARSON
 TYPE III
 WITH WEIGHTED
 REGIONAL SKEW
 / mm

2 00	72 21
2 33	76 11
5 00	84 32
10 00	119 79
20 00	128 19
50 00	153 49
100 00	174 91
200 00	198 75
500 00	234 75
1000 00	266 74

WEIGHTED SKW CHI-SQUARE VALUE = 8 157

COMBINED SKW (LOG10) = 0.33
 REGIONAL SKW (LOG10) = 0.14
 WEIGHTED SKW (LOG10) = -0.05
 MEAN SQUARE ERROR OF LOG10 SKW = 1.951
 MEAN SQUARE ERROR OF REGIONAL SKW = 2.020

Ponta Acúiraz

SAMPLE SIZE = 10

STATISTICS OF THE OBSERVED VALUES

MEAN = 98.32 STD DEV = 28.19 COEF OF SKEW = 1.0321

STATISTICS OF THE NATURAL LOGARITHMS

MEAN = 4.55185 STD DEV = 2.7953 COEF OF SKEW = 0.975

STATISTICS OF THE BASE 10 LOGARITHMS

MEAN = 1.97684 STD DEV = 1.1141 COEF OF SKEW = 0.928

FREQUENCY DISTRIBUTION

RETURN PERIOD / YRS	TRUNCATED NORMAL / mm	2-PARAMETER LOGNORMAL / mm	3-PARAMETER LOGNORMAL / mm	TYPE I EXTREMAL / mm	TYPE I LOG-EXTREMAL / mm	PEARSON TYPE III / mm	LOG PEARSON TYPE III / mm
2 00	98 52	94 31	94 17	94 10	90 77	93 78	94 38
2 33	103 62	99 69	99 62	99 36	95 59	98 74	99 25
5 00	122 67	124 25	119 86	122 19	119 69	120 12	123 69
10 00	135 50	136 45	136 66	140 79	142 73	137 27	136 96
20 00	146 39	151 75	152 86	158 63	151 33	153 53	153 03
50 00	158 75	171 52	174 15	181 71	215 05	174 49	174 27
100 00	167 25	186 52	190 54	199 02	254 99	190 25	190 68
200 00	175 21	201 72	207 39	216 25	302 16	206 19	207 60
500 00	185 12	222 36	230 59	239 00	377 98	227 36	230 99
1000 00	192 25	238 57	249 00	256 19	447 68	243 77	249 64

FREQUENCY DISTRIBUTION

CLASS INTERVAL	PROBABILITY	TRUNCATED NORMAL 10% ^a	2-PARAMETER LOGNORMAL 10% ^a	3-PARAMETER LOGNORMAL 10% ^a	TYPE I EXTREMAL 10% ^a	TYPE I LOG-EXTREMAL 10% ^a	PEARSON TYPE III 10% ^a	LOG PEARSON TYPE III 10% ^a
0	00000	10	38	60	30	60	30	60
1	16667	11.92	32.34	52.36	50.57	72.00	74.67	72.47
2	33333	86.29	84.95	83.61	82.69	81.13	86.19	83.55
3	50000	98.52	94.81	94.17	94.10	90.57	97.30	94.45
4	66667	100.00	100.00	100.00	100.00	100.00	100.00	100.00
5	83333	125.99	124.35	123.95	123.26	123.73	128.99	124.35
6	100000	INFINITY	INFINITY	INFINITY	INFINITY	INFINITY	INFINITY	INFINITY
CHI-SQUARE VALUE		7.87	7.143	6.714	7.143	9.424	3.143	7.143

95% CHI-SQUARE TEST STATISTIC = 11.327

RETURN PERIOD YEARS	LOG PEARSON TYPE III WITH WEIGHTED REGIONAL SKEW = 0.21
2.00	90.87
2.33	98.73
3	112.86
10.00	137.51
20.00	154.44
50.0	177.52
100.00	195.76
200.00	214.78
500.00	241.71
1000.00	262.61

WEIGHTED SKEW CHI-SQUARE VALUE = 3.256

COMPUTED SKEW LOGIC = 0.906
 REGIONAL SKEW LOGIC = 0.0
 WEIGHTED SKEW LOGIC = 0.21
 MEAN SQUARE ERROR OF LOGIC SKEW = 1.277
 MEAN SQUARE ERROR TO REGIONAL SKEW = 3.626

A.2 - Resultados da Simulação do Modelo MODHACX

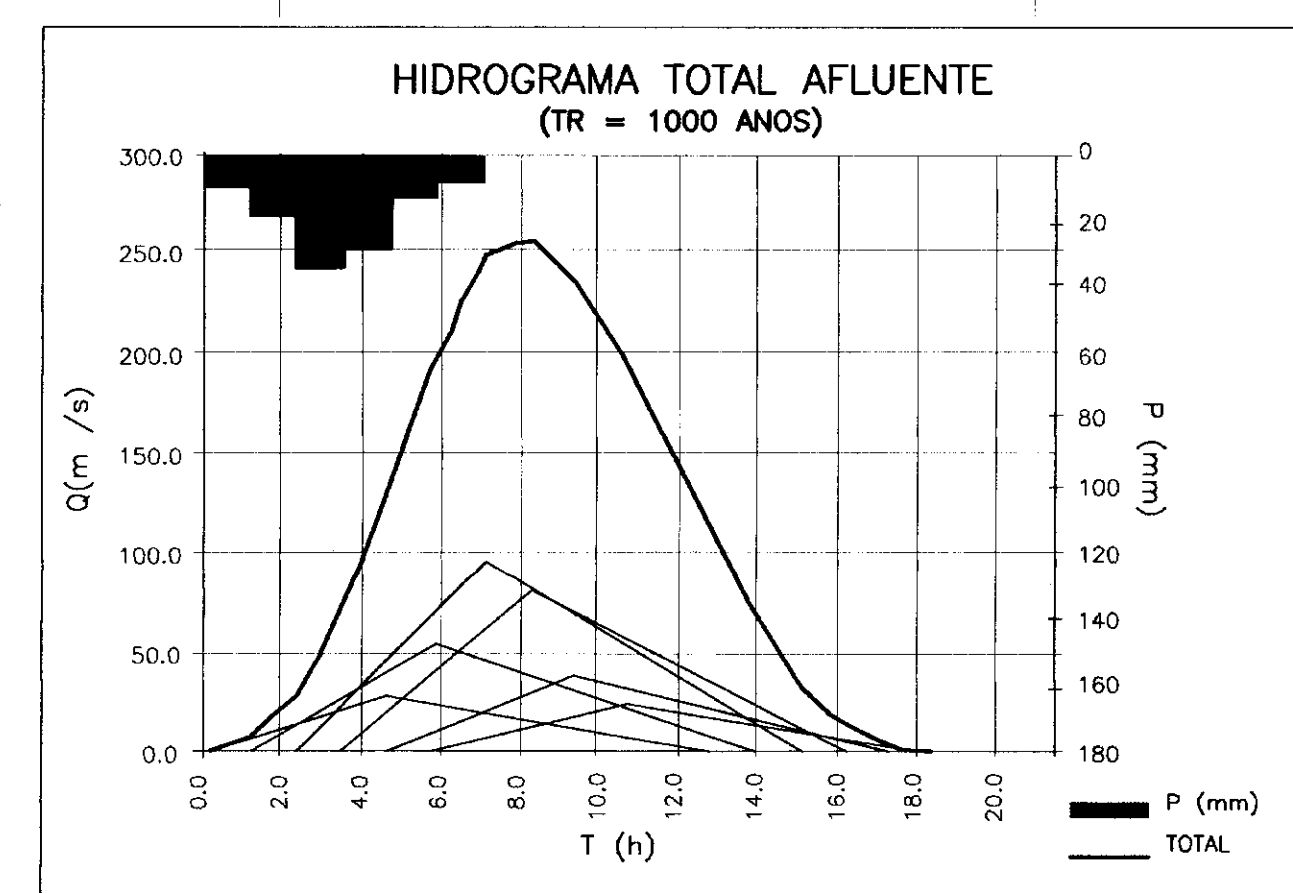
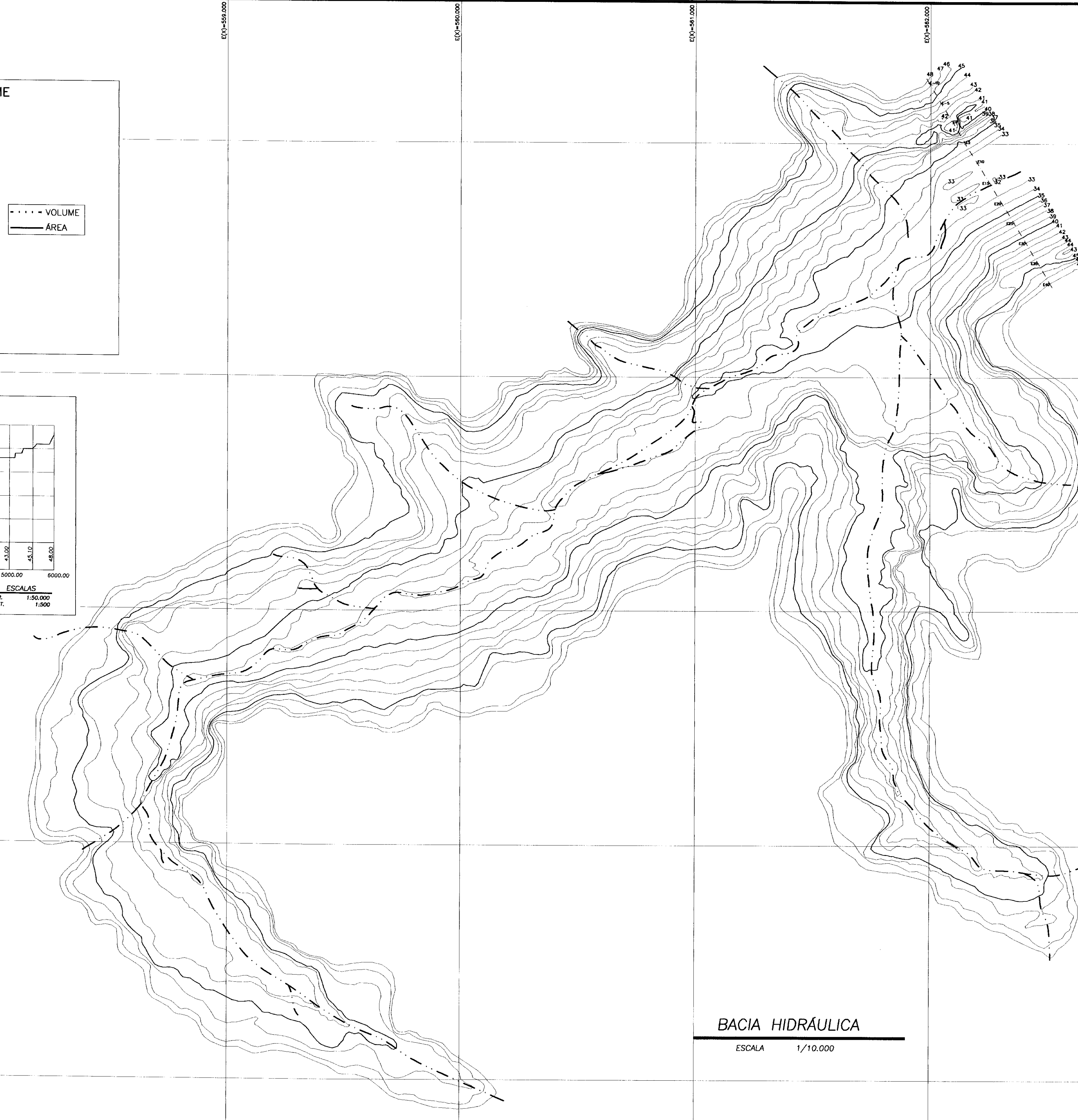
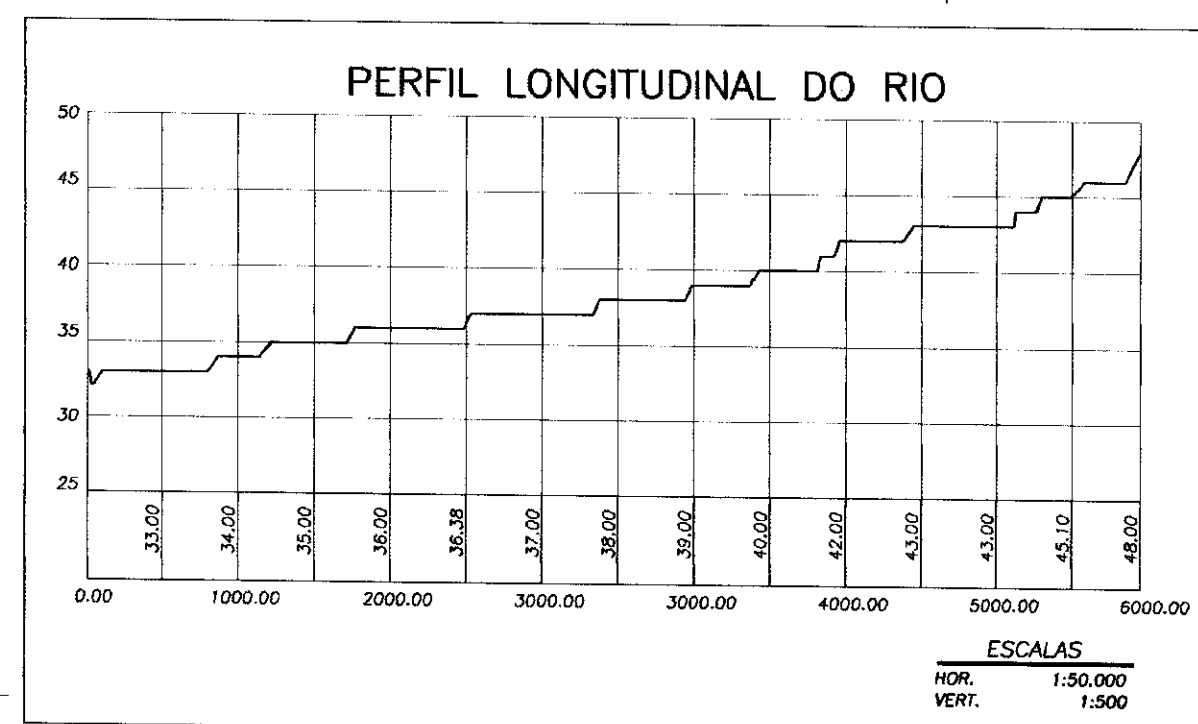
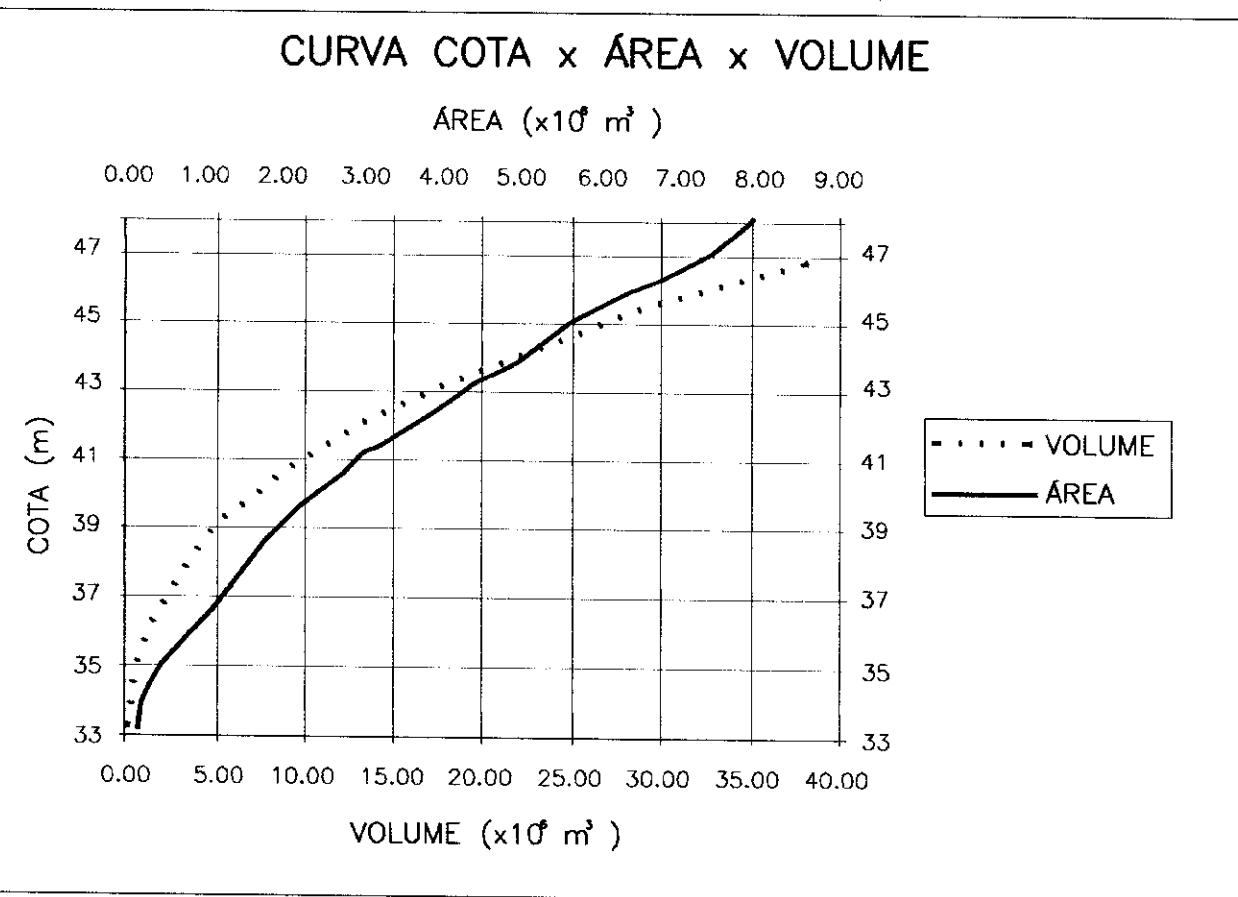
***** MODHAC *****

MODELO HIDROLOGICO MODHAC
 desenvolvido por
 ANTONIO EDUARDO LANNA e MIRIAM SCHARZBACH
 INSTITUTO DE PESQUISAS HIDRAULICAS DA UFRGS

IDENTIFICACAO DO PROBLEMA

Curso de agua Rio CATU
 Secao fluvial Secao Cinzeta
 Area de drenagem 64.5 Km²

Periodo 1921 a 1981 c/fal
 Intervalo de simulacao MENSAL
 Numero de intervalos de simulacao 600
 Intervalo de computacao DIARIO
 Tamanho arquivo de chuvas 7583



0076/01/03/15
00/0289
BIBLIOTECA
SERVIÇOS DE RECURSOS HÍDRICOS

000101

LEGENDA	NOTAS	DESENHOS DE REFERÊNCIA	REVISÕES			GOVERNO DO ESTADO DO CEARÁ SECRETARIA DOS RECURSOS HÍDRICOS-SRH COMPANHIA DE GESTÃO DOS RECURSOS HÍDRICOS-COGERH PROJETO DE DESENVOLVIMENTO URBANO E GESTÃO DOS RECURSOS HÍDRICOS DO ESTADO DO CEARÁ -PROURB/CE PROJETO EXECUTIVO DA BARRAGEM CATU	
			Nº	NATUREZA DA REVISÃO	DATA	APRVO	
— RIACHO							ARQUIVO: KALMAMENTO HÍDRICO CATU VISTO: VERIF: APRVO:
- - - EIXO DA BARRAGEM							DESENHO: JUNIOR DATA DE EMISSÃO: SETEMBRO / 07 ESCALA: INDICADA REV. Nº DO DESENHO: KL - SERVIÇOS E ENGENHARIA LTDA. KL 01/01
— CURVA DE NÍVEL							